УДК 549.618+552.321+550.42 (477.9)

Ті ФЕРРИАЛЛАНИТ-(Ce), Ті И Ті-V АЛЛАНИТ-(Ce), АЛЛАНИТ-(Ce), АЛЛАНИТ-(Y), REE ЭПИДОТ В БИОТИТСОДЕРЖАЩИХ КВАРЦЕВЫХ ГАББРОИДАХ И ПЛАГИОГРАНИТОИДАХ ОСТРОВОДУЖНОГО ПЕРВОМАЙСКО-АЮДАГСКОГО КОМПЛЕКСА ГОРНОГО КРЫМА

© 2025 г. Э. М. Спиридонов^{a, *}, Г. Н. Овсянников^{a, c}, С. В. Филимонов^a, Е. С. Койбагарова^b, Н. Н. Коротаева^a

^а Московский государственный университет имени М. В. Ломоносова, Ленинские горы, 1, Москва ГСП-1, 119991 Россия ^b Санкт-Петербургский государственный университет, В/О, пер. Декабристов, 16, Санкт-Петербург, 199155 Россия ^c Институт вулканологии и сейсмологии ДВО РАН, бульвар Пийпа, 9, Петропавловск-Камчатский, 683006 Россия

*e-mail: ernstspiridon@gmail.com

Поступила в редакцию 13.02.2025 г. После доработки 07.04.2025 г. Принята к публикации 24.04.2025 г.

Описана уникальная ассоциация редкоземельных минералов группы эпидота и эволюция лантанидов и актинидов, титана и ванадия в их составе. Алланит-(Се), нередко с ядром ферриалланита-(Ce), внешней зоной алланита-(Y) и оторочкой REE эпидота, слагает псевдоморфозы по чевкиниту-(Се) и перрьериту-(Се) и обособленные кристаллы. Они образуют срастания с биотитом и развиты рядом с ним в кварцевых габбронорит-долеритах и габброноритдиоритах островодужного базитового гипабиссального первомайско-аюдагского комплекса среднеюрского – раннебайосского возраста Горного Крыма. Близкого состава зональный алланит-(Се) с каймами REE эпидота развит в кварцевых диоритах и плагиогранитах того же комплекса, часто присутствует в гранофировых кварц-олигоклазовых срастаниях. Коричневого цвета обогащенный $Ti(\pm Th)$ ферриалланит-(Ce) слагает ядра в кристаллах обогащенного $Ti(\pm V)$ алланита-(Се) коричневого цвета (до 4.9 мас. % TiO₂). Обогащенный титаном (до 3.5 мас. % TiO₂) алланит-(Се), заместивший ильменит, экстремально богат ванадием (до 4.5 мас. % V,O,). На обогащенный титаном алланит-(Се) нарос светлоокрашенный малотитанистый алланит-(Се). Распределение лантанидов и иттрия в алланите-(Ce) и ферриалланите-(Ce): Ce > La > Nd > Y > > Pr > Sm ~ Dy ~ Gd > Er ~ Tb. Внешние зоны кристаллов алланита-(Се) и REE эпидот обычно относительно обогащены Nd, в них иногда Nd > La. Соотношение иттрия и лантанидов в алланите-(Y) специфичное: Y > Ce ~ Nd ~ Dy ~ Er > La ~ Gd ~ Yb. Алланит-(Ce) габброидов Крыма заметно богаче La, Ti, V и беднее Y, Sm, Gd в сравнении с алланитом-(Се) плагиогранитоидов Крыма. Распределение лантанидов и иттрия в алланите-(Се) плагиогранитоидов Крыма близко к стандартным гранитам, единственное существенное отличие – повышенное содержание Gd. Рассмотрены причины окраски и источники вещества для образования магматогенного крымского алланита. При процессах регионального метаморфизма в условиях пренит-пумпеллиитовой фации часть этого алланита заместил монацит-(Се).

Ключевые слова: ферриалланит-(Се), алланит-(Се), алланит-(Y), REE эпидот, островодужные габброиды — плагиогранитоиды Горного Крыма

DOI: 10.31857/S0016752525080039, **EDN:** QFNBFL

ВВЕДЕНИЕ

Редкоземельные минералы группы эпидота характерные акцессорные минералы кварцевых габброидов с биотитом и плагиогранитоидов островодужного базитового первомайскоаюдагского интрузивного комплекса в мезозоидах Горного Крыма. Рассмотрены уникальные парагенезы редкоземельных минералов группы эпидота: Ті ферриалланит-(Ce), Ті и Ті-V алланит-(Ce), алланит-(Се), алланит-(Ү), REE эпидот, которые в срастании с биотитом слагают псевдоморфозы по чевкиниту-(Се), перрьериту-(Се), ильмениту и обособленные кристаллы. Представлена эволюция лантанидов и иттрия, титана и ванадия в крымских магматогенных редкоземельных минералах группы эпидота в сравнении с мировыми типами.

Алланит (ортит) — распространенный акцессорный минерал магматических, метаморфических и метасоматических горных пород. Якоб Берцелиус в 1818 г. назвал этот минерал ортитом за ортогональную форму кристаллов (Кокшаров, 1848). В настоящее время принято название «алланит», которое дано в честь шотландского минералога Томаса Аллана (1777—1833) (Армбрустер и др., 2006).

Структуру минерала расшифровали Т. Уеда (Ueda, 1955); И. М. Руманова и Т. В. Николаева (1959). Структура алланита отвечает клиноцоизиту $CaCaAlAl_{2}[O/OH/SiO_{4}/Si_{2}O_{7}]$, где место атома Ca^{2+} занимают REE^{3+} , Y^{3+} , Sc^{3+} , место атома Al^{3+} занимают Fe²⁺, Mg²⁺, Mn²⁺... – Ca (REE, Y)(Fe²⁺, Mg, Mn) $Al_2[O/OH/SiO_4/Si_2O_7]$; Ca^{2+} замещают Sr^{2+} , Mn^{2+} и Pb^{2+} ; $Al^{3+} - Fe^{3+}$, Mn^{3+} , Cr^{3+} , V^{3+} . Наиболее распространен алланит-(Се), гораздо более редки алланит-(Y), алланит-(La), алланит-(Nd), алланит-(Sm); относительно распространен ферриалланит-(Ce), в составе которого $Fe^{3+} > Al$ (Hobbs, 1889; Вернадский, 1914; Болдырев и др., 1936; Ферсман, 1940; Murata et al., 1957; Хвостова, 1962; Хейнрих, 1962; Frondel, 1964; Якубова, 1972; Gromet, Silver, 1983; Sawka et al., 1984; Fleischer, 1985; Deer et al., 1986; Burt, 1989; Chesner, Ettlinger, 1989; Pan, Fleet, 1991; Ercit, 2002; Holtstam, 2003; Giere, Sorensen, 2004; Армбрустер и др., 2006; Hoshino et al., 2006; Hanson, 2012; Alekseev et al., 2013; Pieczka et al., 2024).

Алланит — распространенный акцессорный минерал кремнекислых интрузивных и вулканических пород, в некоторых из них он образует вкрапленники (Вернадский, 1914; Smith et al., 1957; Хвостова, 1962; Якубова, 1972; Попова и др., 1980; Gromet, Silver, 1983; Sawka et al., 1984; Fleischer, 1985; Deer et al., 1986; Burt, 1989; Chesner, Ettlinger, 1989; Congdon, Nash, 1991; Barth et al., 1994; Cassilas et al.,

1995; Ercit, 2002; Giere, Sorensen, 2004; Hoshino et al., 2006; Спиридонов и др., 2013; Alekseev et al., 2013; Губин, Хиллер, 2014); гранитных пегматитов (Lacroix, 1910; Вернадский, 1914; Болдырев и др., 1936; Лабунцов, 1939; Ферсман, 1940; Барсанов, 1949; Murata et al., 1957; Хвостова, 1962; Попова и др., 1980: Fleischer, 1985: Deer et al., 1986: Barth et al., 1994; Cassilas et al., 1995; Ercit, 2002; Orlandi, Pasero, 2006; Prol-Ledesma et al., 2012; Губин, Хиллер, 2014); кварцсодержащих габброидов (Smith et al., 1957; Хвостова, 1962; Якубова, 1972; Ercit, 2002); карбонатитов, сиенитов, нефелиновых сиентов, щелочных пегматитов, фенитов (Murata et al., 1957; Smith et al., 1957; Попова и др., 1980; Fleischer, 1985; Giere, Sorensen, 2004; Hanson, 2012); магнезиальных и известковых скарнов (Holtstam, 2013; Smith et al., 2002); пропилитов; метаморфических пород амфиболитовой, гранулитовой и эклогитовой фаций, фации голубых сланцев (Treloar, Charnley, 1987; Pan, Fleet, 1991; Schandl, Gorton, 1991; Finger et al., 1998; Wing et al., 2003; Mulrooney, Rivers, 2005; Philpotts, Ague, 2009); жил альпийского типа (Gramaccioli, 1978); метакимберлитов пренит-пумпеллитовой фации (Путинцева, Спиридонов, 2016). В. И. Вернадский показал, что существует два типа гранитоидов: обогащенные Са содержат алланит и апатит, бедные Са – монацит (Вернадский, 1914).

Во всех этих образованиях редкоземельный состав алланита-(Се) обычно довольно устойчив: Ce > La > Nd >> Pr > Sm > Gd. Содержания иных редкоземельных элементов, иттрия и урана обычно невелики; содержания тория – от следов до 1, редко до 5 мас. % и выше. Алланит, обогащенный La или Nd, а также Th и U, развит в гранитных пегматитах. Ядра кристаллов такого алланита обычно метамиктные, нередко метамиктен весь объем кристаллов пегматитового алланита. Ферриалланит – характерный минерал тех жил альпийского типа, которые были сформированы при повышенном окислительном потенциале. Кристаллы алланита практически повсеместно зональные, их ядра обогащены лантанидами, внешние зоны обогащены Са и/или Ү, оторочки слагает REE эпидот.

ГЕОЛОГИЯ ГОРНОГО КРЫМА

Мезозоиды Горного Крыма — это составная часть альпийско-гималайского покровноскладчатого пояса (Хаин, 1984). Горный Крым в мезозое — окраина океана Тетис. В триасе — ранней юре — это пассивная окраина Русской платформы. В средней юре — это активная окраина Русской платформы с островной андезитовой вулканической дугой и немалым количеством мелких интрузивов габброидов и плагиогранитоидов

первомайско-аюдагского комплекса (Спиридонов и др., 1990). Мезозоиды Горного Крыма состоят из Лозовской и Горно-Крымской тектонических зон, которые слагают сложноскладчатые толщи флиша позднего триаса – ранней юры, несогласно перекрытые более молодыми терригеннокарбонатными и угленосными отложениями средней юры, смятыми в более простые складки (Милеев и др., 2009). Флиш таврической и эскиординской серий прорван и метаморфизован гипабиссальными интрузивами раннебайосского первомайско-аюдагского интрузивного комплекса, прорван и перекрыт вулканитами позднебайосской бодракско-карадагской вулканической серии (Павлинов, 1946; Лебединский, 1962; Фирсов, 1963; Багдасарян, Лебединский, 1967; Лебединский, Соловьев, 1988; Спиридонов и др., 1990; Никитин, Болотов, 2007; Латышев, Панов, 2008; Морозова и др., 2012). Первомайско-аюдагский габброидный комплекс – это островодужная плагиолерцолит – габбронорит-долерит – габброноритдиорит – кварцеводиорит – плагиогранитная формация. Интрузивы комплекса: куполообразные штоки, дайко- и силлообразные – Аю-Дагский, Балаклавские, Чамны-Бурун, Партенитские, Курцовские, Лозовской, Джидаирский, Донузоран, Лебединский, Кушнаревский (Первомайский)... Их образуют преобладающие анортит-битовнитовые габбронорит-долериты от оливиновых до кварцевых, кумулятивные плагиолерцолиты, кварцевые габбронорит-диориты, кварцевые диориты, плагиограниты, в том числе гранофировые; в краевых частях интрузивов породы мелко- и тонкозернистые, порфировидные и резко порфировидные, нередко миндалекаменные (Лагорио, 1887; Лучицкий, 1939; Павлинов, 1946; Кравченко, 1958а, б; Спиридонов и др., 1990, 2018, 2019а, 2019б, 2021а, 2023; Овсянников и др., 2024).

Допозднеюрские образования Горного Крыма были перекрыты осадочными толщами поздней юры мощностью до 5 км и более, тектонизированы и захвачены региональным низкоградным метаморфизмом позднеюрского возраста в условиях цеолитовой, затем – пренит-пумпеллиитовой и вновь – цеолитовой фаций; фации выделены по аналогии с данными в работе (Philpotts, Ague, 2009); при этом минеральный состав магматических пород первомайско-аюдагского комплекса был существенно преобразован (Спиридонов и др., 1990; Спиридонов, 2018; Спиридонов, Овсянников, 2024). Габброиды интрузива Лебединского, метаморфизованные в условиях пренит-пумпеллиитовой фации, пересечены маломощными дайками кайнотипных керсутитовых лампрофиров мелового возраста (Спиридонов и др., 2021б).

ИНТРУЗИВЫ ПЕРВОМАЙСКО-АЮДАГСКОГО КОМПЛЕКСА

На рис. 1 приведена схема расположения интрузивов первомайско-аюдагского комплекса, которые описаны ниже.

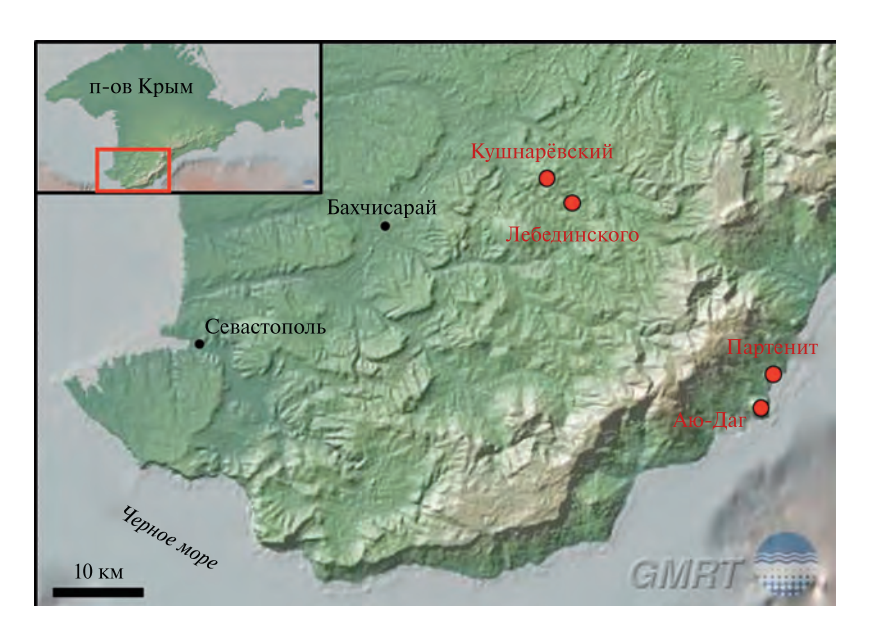


Рис. 1. Карта Горного Крыма с отмеченными на ней интрузивами первомайско-аюдагского комплекса: Аю-Даг, Партенит, Кушнарёвский (Первомайский) и Лебединского.

Штокообразный интрузив Аю-Даг

Аю-Даг (Медведь-гора) расположен в Южно-Крымской тектонической зоне. Это двухкупольный габброидный интрузив размером 2.4 × 2 км, одно из типичных островодужных магматических образований Горного Крыма. Интрузив внедрился механически активно, раздвигая и пронизывая дислоцированную толщу флиша таврической серии. В бухте Панаир от основного тела интрузива на юг в породы рамы отходят субгоризонтальные жилы – апофизы мощностью от первых сантиметров до 13 м, сложенные мелкозернистыми порфировидными и резко порфировидными габброидами. Вдоль контактов жил – апофиз – развиты породы зоны закалки, в том числе с вкрапленниками анортита и оливина (Спиридонов и др., 2018). Интрузив окружен узким (до 5–8 м) ореолом роговиков (в том числе узловатых с андалузитом, кордиеритом) и кварцитопесчаников (Лучицкий, 1939). Ксенолиты флиша таврической серии слагают роговики пироксеновой фации, апосидеритовые – с феррогортонолитом (Еременко, Еременко, 1972). Интрузив сложен среднезернистыми, средне-крупнозернистыми, реже пегматоидными или порфировидными средне-мелкозернистыми анортит-битовнитовыми кварцевыми и кварцсодержащими габбронорит-долеритами, кварцевыми габбронорит-диоритами и кварцевыми диоритами с небольшими шлирами и жилами гранодиоритов и плагиогранитов, нередко гранофировых (Павлинов, 1946; Кравченко, 1958а, 19586; Спиридонов и др., 1990, 2018, 2019а, 2019б, 2023). Для габброидов характерны полосчатые и складчатые текстуры магматического течения, выраженные чередованием полос, богатых анортитом и битовнитом, и полос, богатых пироксенами и титаномагнетитом. Широко распространены массивные габброиды среднеи крупнозернистые, редко пегматоидные, с одной стороны, и мелко-среднезернистые – с другой. Не менее широко развиты такситовые и шлировотакситовые габброиды с хаотичным чередованием разнозернистых меланократовых, мезократовых и лейкократовых участков неправильной формы. Габброиды Аю-Дага повсеместно содержат мелкие гнезда кварца и гранофировые кварцолигоклазовые срастания. В отдельных участках количество и размер таких гнезд увеличивается, вплоть до преобладания. Соответственно, состав пород меняется от габброноритового через габбродиориты и кварцевые диориты до гранофировых плагиогранитов. Очевидно, поэтому в ранних работах (Лучицкий, 1939 и др.) отмечено широкое развитие в составе интрузива Аю-Даг гранитоидных пород. Преобладание на Аю-Даге габброидов с обилием анортита установил С. М. Кравченко (1958а, 1958б).

Габброиды Аю-Дага пересечены пологими, наклонными и крутопадающими дайками базитов с зонами закалки. Дайки слагают микрогаббронориты, габбро-порфириты, долериты двупироксеновые, амфибол-двупироксеновые и оливинсодержащие.

Штоки Партенита

Основное интрузивное тело Аю-Дага сопровождают расположенные восточнее многочисленные сателлиты и отшнурованные небольшие штоки размером от первых десятков метров до 200—300 × × 100—150 метров долготного и северо-восточного простирания (Партенит, Медвежата и иные). Они сложены в основном среднезернистыми габбронорит-долеритами и габбронорит-диоритами, кварцевыми и кварцсодержащими, реже кварцевыми диоритами. Широко развиты порфировидные и резко порфировидные породы, мелкозернистые до тонкозернистых, нередко миндалекаменные (Павлинов, 1946; Кравченко, 1958а, 1958б и др.)

Силлообразный интрузив Лебединского

Расположен на западном склоне Симферопольского поднятия, в 5 км от пос. Трудолюбовка вверх по течению р. Бодрак, в пределах геологического полигона МГУ. Пластовые тела магматических пород основного состава в верховьях Бодрака известны со времен П. Палласа (Лагорио, 1887). К северу от р. Бодрак развиты три силлообразных интрузива, субсогласных пластам флиша таврической серии, залегающим почти вертикально на крыле крупной складки. В том месте, где в русле р. Бодрак вскрыт силлообразный интрузив Лебединского (т.н. Перекат), интрузивное тело сечет ороговикованный флиш таврической серии почти вкрест залегания; в него отходят апофизы габброидов мощностью до 20 см. Мощность тела габбронорит-долеритов составляет 4—7 м, длина— 1500—2000 м. Центральные части тел слагают среднезернистые, массивные оливиновые габброноритдолериты с участками и шлирами меланократовых оливиновых габбронорит-долеритов до плагиолерцолитов, а также безоливиновых и кварцсодержащих пород с биотитом. Именно последние содержат алланит. Зоны закалки мощностью до 1 м слагают порфировидные и резко порфировидные тонкозернистые породы с вкрапленниками анортита, битовнита и оливина, часто миндалекаменные.

Штокообразный интрузив Кушнарёвский (Первомайский)

Кушнарёвский (Первомайский) интрузив расположен на западном склоне Симферопольского

поднятия в пределах геологического полигона МГУ, среди ветвей субширотного крутопадающего Бодракского разлома, по которому граничат таврическая и эскиордынская флишевые толщи (Милеев и др., 2009). Размер интрузива достигает 800 × 300 м. Интрузив дифференцированный. Вскрытая карьером нижняя часть интрузива сложена мелко- и средне-мелкозернистыми габбронорит-долеритами с единичными кристаллами оливина, кварцсодержащими и кварцевыми габбронорит-долеритами и габбронорит-диоритами, в том числе с биотитом. Выше они переходят в пироксенсодержащие биотит-роговообманковые кварцевые диориты со шлирами плагиогранитов. Среди габброидов развиты редкие крутопадающие жилы кварцевых диоритов – плагиогранитов с округлыми ксенолитами кварцевых габброноритдолеритов. Верхнюю часть интрузива слагают биотитовые плагиограниты от меланократовых до лейкократовых, местами гранофировые. Породы интрузива рассечены дайками оливиновых базальтов и андезитов позднебайосского бодракского субвулканического комплекса (Спиридонов и др., 1990). На выветрелые кушнарёвские плагиограниты нарос коралловый риф раннемелового возраста (Лагорио, 1887; Никитин, Болотов, 2007).

МИНЕРАЛЬНЫЕ АССОЦИАЦИИ ИНТРУЗИВНЫХ ПОРОД ПЕРВОМАЙСКО-АЮДАГСКОГО КОМПЛЕКСА

Минеральные ассоциации (МА) габброидов и плагиогранитоидов комплекса отвечают реакционному ряду Н.Л. Боуэна (Спиридонов и др., 2023): 1 MA – Mg оливин I, алюмомагнезиохромит; МА – анортит, оливин II, алюмохромит до хромтитаномагнетита; 3 МА – битовнит, субкальциевый авгит, Мg авгит, бронзит, пижонит, армолколит (Mg, Fe²⁺, Fe³⁺)(Ti, Fe³⁺) $_2$ O₅; 4 MA – лабрадор, Fe авгит гиперстен, Мg ильменит, титаномагнетит-I, бадделеит ZrO,, чевкинит-(Се) (REE, Ca, Th, Y)₄(Fe²⁺, Mg)₁Ti₄[O₄/Si₂O₇]₂, перрьерит-(Се) (REE, Ca, Y)₄(Fe²⁺, Mg)₁Ti₄[O₄/Si₂O₇]₂, цирконолит (Ca, Y, REE) $Zr(Ti, Fe^{3+})_2O_7$; в ряде кристаллов чевкинита-(Се) и перрьерита-(Се) преобладает магний; в ряде кристаллов цирконолита преобладает иттрий; 5 MA – андезин, титаномагнетит II, ильменит, паргасит до эденита; 6 МА – олигоклаз, кварц, биотит І, ильменит, алланит-(Се) І, ферриалланит-(Ce), алланит-(Y), REE эпидот I, циркон I; 7 MA – альбит – олигоклаз, кварц, кварц-полевошпатовые гранофировые срастания, биотит II, циркон II, алланит-(Ce) II, REE эпидот II. Чевкинит-(Ce) реликтовых включений в алланите беден Mg, его состав, мас. %, n = 4: SiO,

19.65 (19.38–20.04); TiO, 19.08 (18.74–19.47); ZrO, 0.72 (нпо – 1.60); Al₂O₃ 1.64 (1.25–2.00); Fe₂O₃ 4.48 (1.95-7.19): FeO 5.40 (3.43-6.44): MnO 0.11 (нпо – 0.17); MgO 0.09 (HTIO -0.25); Sc₂O₂ 0.41 (0.34-0.45); La₂O₃ 10.88 (8.68–12.40); Ce₂O₃ 21.84 (21.15–22.32); $Pr_{2}O_{3}^{2}$ 1.75 (1.47–2.04); $Nd_{2}O_{3}^{2}$ 6.89 (6.15–7.95); Sm_2O_3 0.42 (нпо - 0.70); Gd_2O_3 0.42 (нпо - 0.62); ThO, 2.24 (1.61–2.72); CaO 3.20 (2.58–3.79); Na₂O 0.30 (0.26-0.33); сумма 99.52, чему соответствует формула [$Ce_{1.5-1.7}La_{0.6-0.9}Nd_{0.5-0.6}Pr_{0.1}(Gd + Sm)_{0.1} \times$ $\times \ \ Y_{0.1-0.2}Sc_{0.1}Ca_{0.6-0.8}Na_{0.1}]_{4}(Fe^{2+}_{0.6-1}Mg_{0-0.1}Fe^{3+}_{0-0.4})_{1} \ \times \\$ $\times (\mathrm{Ti}_{0.8-0.9}^{3}\,\mathrm{Fe}^{3+}_{0.3-0.7}^{}\mathrm{Al}_{0.2-0.4}^{}\mathrm{Zr}_{0-0.2}^{})_{2}^{}\mathrm{Ti}_{2}^{}[(\mathrm{Si}_{3.9-4}^{}\mathrm{Al}_{0.1-0}^{})_{4}^{}\mathrm{O}_{22}]$ (Спиридонов и др., 2019б). Перрьерит-(Се) реликтовых включений в алланите беден Мg, его состав, мас. %, n = 7: SiO₂ 20.33 (20.08–20.92); TiO, 19.27 (18.96–19.61); ZrO, 2.19 (1.66–2.85); Al₂O₃ 3.13 (2.93–3.50); Fe₂O₃ 5.50 (4.84–6.32); FeO 1.84 (1.87–2.55): MnO нпо; MgO 0.69 (0.62–0.75); Sc₂O₃ 0.38 (0.30–0.49); Y₂O₃ 0.79 (0.58–1.29); La₂O₃ 10.04 (9.52–10.72); Ce₂O₃ 20.04 (19.89–21.01); Pr₂O₃ 1.40 (1.30–1.51); Nd₂O₃ 5.68 (4.73–6.75); Sm₂O₃ 0.31 (нпо – 0.52); Gd,O, 0.29 (нпо – 0.57); ThO, 1.66 (0.54-2.96); CaO 5.01 (5.32-6.28); Na₂O 0.30 (0.25-0.39); сумма 99.85 (98.83–100.89), формула отвечает $\begin{array}{l} [Ce_{_{1.3-1.5}}La_{_{0.7-0.8}}Nd_{_{0.3-0.5}}Pr_{_{0.1}}(Gd+Sm)_{_{0.1}}Y_{_{0.1}}Sc_{_{0.1}}Ca_{_{1.1-1.3}}\times \\ \times \quad Na_{_{0.1}}]_{_{4}}(Fe^{^{2+}}_{_{0.4-0.5}}Fe^{^{3+}}_{_{0.2-0.4}}Mg_{_{0.2}})_{_{1}} \ (Al_{_{0.5-0.7}}Ti_{_{0.3-0.8}}\times \end{array}$ $\times \ Fe^{3+}_{0.3-0.9} Zr_{0.1-0.3})_2 Ti_2 [(Si_{3.9-4}Al_{0.1-0})_4 (O_{21.4-22}OH_{0.6-0})_{22}]$ (Спиридонов и др., 2019б). Апатит присутствует в 3-7 МА, редкие пирротин и халькопирит в 3-6 МА.

Интрузивные породы содержат заметное количество реститовых циркона и торита, некоторые кристаллы этого циркона обогащены иттрием; реститовые циркон и торит интенсивно растворялись в базитовом расплаве комплекса (Спиридонов и др., 2018).

МАТЕРИАЛЫ И МЕТОДЫ ИССЛЕДОВАНИЯ

Изучен алланит и REE эпидот обширной коллекции биотитсодержащих кварцевых габплагиогранитоидов интрузивов броидов И Аю-Даг, Партенит, Лебединского и Кушнаревский (Первомайский); метамиктных среди них нет. Микрофотографии выполнены на оптическом микроскопе Carl Zeiss Axioplan 2. Фотографии в режиме отраженных электронов и исследование химического состава редкоземельных минералов группы эпидота выполнены в лаборатории локальных методов исследования вещества кафедры петрологии и вулканологии геологического факультета МГУ имени М.В. Ломоносова на электронном сканирующем микроскопе JSM IT-500 («Jeol», Japan)

с энергодисперсионным спектрометром X-Max^N («Oxford Instruments», GB), аналитик-исследователь Н. Н. Коротаева. Измерения проведены при ускоряющем напряжении 20 кВ и силе тока электронного зонда 0.7 нА. Время накопления спектра – 100 с. Систематическая погрешность измерения главных (более 10 %) компонентов не превышает 1 относительного процента. Для содержаний от 1 до 10 % относительная ошибка находится в пределах 5 %. Анализы выполнены с использованием в качестве стандартов синтетических фосфатов индивидуальных лантанидов и иттрия: YPO_4 (Y L), $CePO_4$ (Ce L), $LaPO_4$ (La L), $NdPO_{4}$ (Nd L), $PrPO_{4}$ (Pr L), $SmPO_{4}$ (Sm L), $EuPO_{4}$ $(\operatorname{Eu} L)$, $\operatorname{GdPO}_4(\operatorname{Gd} L)$, $\operatorname{TbPO}_4(\operatorname{Tb} L)$, $\operatorname{DyPO}_4(\operatorname{Dy} L)$, $ErPO_4$ (Er L), YbPO $_4$ (Yb M), а также — волластонита (Са K, Si K), микроклина (Al K), диопсида (Mg K), Fe_3O_3 (Fe K), $MnTiO_3$ (Mn K, Ti K), ThO_3 (Th M). С учетом наложения спектральных линий индивидуальных лантанидов показана высокая надежность полученных аналитических данных. Так, для одного из анализов крымского алланита при учете наложений аналитических линий иных лантанидов получены следующие оценки: Се 10.04 ± \pm 0.004 mac. %, La 4.97 \pm 0.003; Nd 2.50 \pm 0.000;

Pr 0.69 ± 0.000 ; Sm 0.43 ± 0.008 ; Gd 0.43 ± 0.10 ; Dy 0.39 ± 0.05 мас. %. Расчет формул минералов группы эпидота проведен по стандартному варианту формулы клиноцоизита, оценка содержания Fe^{2+} и Fe^{3+} — по балансу зарядов. Нумерация анализов в таблицах и на рисунках единая, сквозная.

ФЕРРИАЛЛАНИТ-(Се), АЛЛАНИТ-(Се), АЛЛАНИТ-(Ү), REE ЭПИДОТ В БИОТИТ-КВАРЦСОДЕРЖАЩИХ ГАББРОИДАХ

Интрузив Аю-Даг

Редкоземельные минералы группы эпидота развиты в кварцсодержащих габбронорит-долеритах и габбронорит-диоритах, где слагают псевдоморфозы по чевкиниту-(Се) (рис. 2а) и перрьериту-(Се) (рис. 2б, 2г, 3а) и обособленные кристаллы (рис. 2б, 3б, 3в, 3г, 4), обычно в срастаниях с биотитом и около его выделений. Большинство кристаллов алланита имеет зональное (рис. 3б) и секториально-зональное строение (рис. 3г, 4в, 4г)и окружены зональными оторочками REE эпидота (рис. 2б, 2в, 4в); незональные кристаллы алланита-(Се)

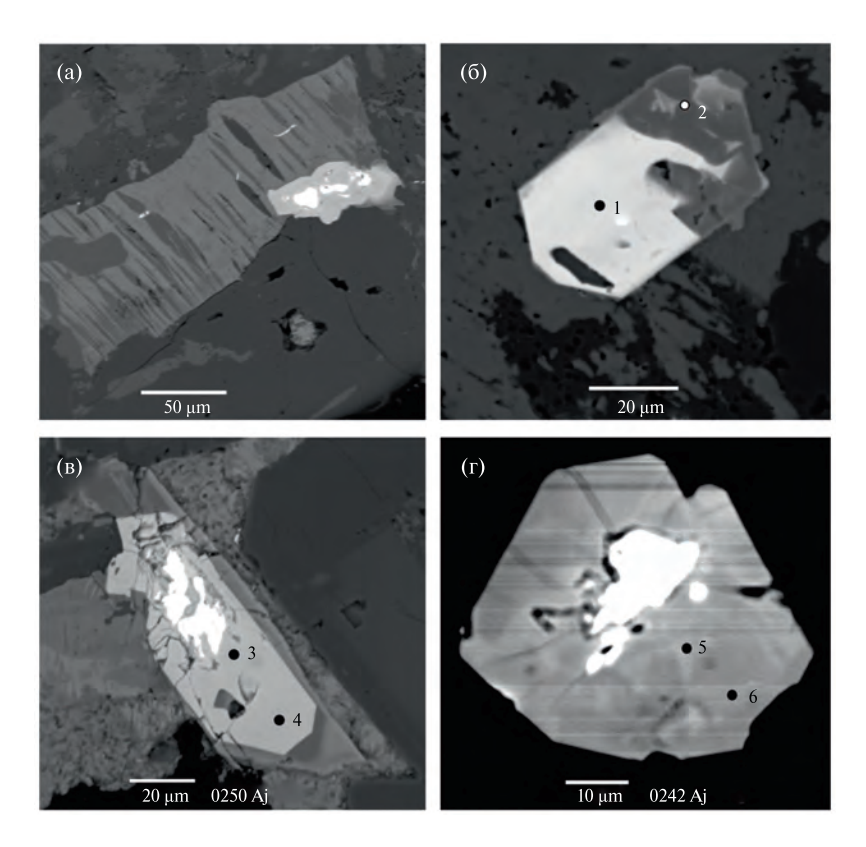


Рис. 2. Биотитсодержащие кварцевые габбронорит-долериты юго-запада причерноморской полосы интрузива Аю-Даг: (а) — алланит-(Се) (светло-серый) с реликтами чевкинита-(Се) (бе-лый) в срастании с биотитом; (б) — кристалл алланита-(Се) (светлый, ан. № 1, 2) с оторочкой REE эпидота (серый); (в) — кристалл алланита-(Се) (светло-серый, ан. № 3, 4) с реликтами перрьерита-(Се) (белый), оторочка зонального REE эпидота (серый); (г) — алланит-(Се) (серый разных оттенков, ан. № 5, 6) с реликтами перрьерита-(Се) (белый). BSE image.

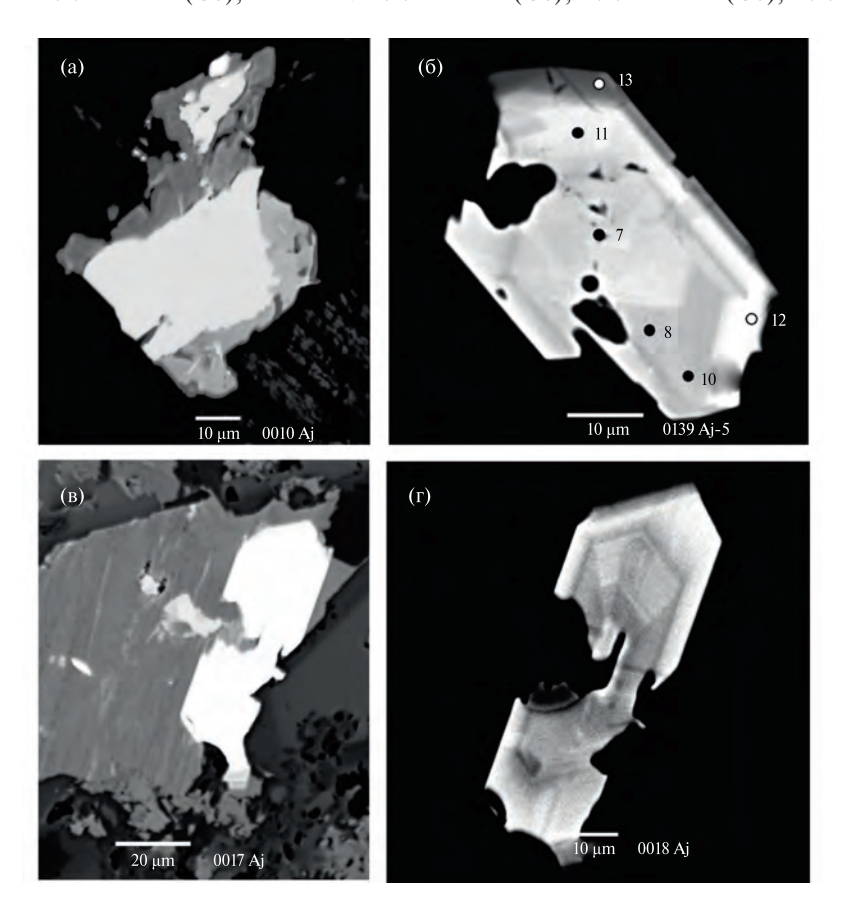


Рис. 3. Биотитсодержащие кварцевые габбронорит-долериты и габбронорит-диориты центра причерноморской полосы интрузива Аю-Даг, запад бухты Панаир: (а) — алланит-(Се) (серый) слагает кайму замещения вокруг перрьерита-(Се) (белый); (б) — сложно зональный кристалл алланита: Ті ферриалланит-(Се) (ан. № 7), алланит-(Се) (ан. № 8–12), алланит (Y) (ан. № 13); (в, г) — секториально-зональный кристалл алланита-(Се) в биотите. BSE image.

редки (рис. 4а). Центральные зоны кристаллов слагает коричневый в проходящем свете алланит-(Се), обогащенный Ti (до 3.6 мас. % TiO₂) и Fe²⁺ (ан. № 1, 3, 4-6, табл. 1; № 11-19, табл. 3). Состав обогащенного титаном алланита-(Се) в различных частях интрузива Аю-Даг устойчив: Ce > La > Nd >> >> Pr >> Sm ~ Gd ~ Dy; Fe²⁺ >> Fe³⁺. Вариации состава алланита-(Се) на северо-востоке (табл. 3) и на юго-западе интрузива (табл. 1): Ce₃O₅ 12.2–13.8 и 11.4—13.7 мас. %; La₂O₃ 7.4—11.0 и 5.2—8.5 %; Nd₂O₃ 1.7-4.2 и 3.3-4.5%; Pr_2O_3 0.4-1.1 и 0.8-1.2%; Sm_2O_3 до 0.3 и до 0.4%; Gd₂O₃ до 0.3 и до 0.4%; ThO₂ до 0.7% и до 0.7 %; ТіО, 2.5–3.6 и 2.4–3.4 %; V₂O₃ 0.5–0.7 и 0.4–0.6%. Алланит-(Се) на юго-западе интрузива немного богаче Ү. Богатый Ті алланит-(Се), заместивший ильменит (рис. 4б), селективно обогащен V, содержит 3.2—4.4 мас. % V₂O₂ (ан. № 18—19, табл. 3). Реже в центре кристаллов развит коричневый в проходящем свете ферриалланит-(Се), обогащенный Ті (ан. № 7, табл. 2), который окружен обогащенным Ті алланитом-(Се). Распределение лантанидов в ферриалланите-(Се) несколько иное: Ce >> La ~ Nd >> Pr > Sm ~ Gd; содержание Y,

Sc, Th такое же, как в титанистом алланите-(Ce); $Fe^{3+} \sim Fe^{2+}$. Светло-коричневый до бесцветного алланит-(Се) с невысоким содержанием Ті окружает ядра обогащенного Ті алланита-(Се) (рис. 3б, ан. № 8-12, табл. 2) и слагает центральные части многих обособленных кристаллов алланита. Состав бедного Ті алланита-(Се) устойчив по всему интрузиву Аю-Даг. Минерал содержит 10.2—11.6 мас. % Се₂О₃; 4.3–5.6 % La₂O₃; 3.7–5.4 % Nd₂O₃; 0.8–1.3 % Pr₂O₃; 0.4-1.1 % Sm₂O₃; 0.3-0.8 % Gd₂O₃; 0.2-1.6, чаще $0.2-0.6\,\%$ TiO $_2^2$; $0.2-0.6\,\%$ V₂O₃, Fe $^{2+}$ >> Fe $^{3+}$. Распределение лантанидов: Ce >> La ~ Nd >> Pr ~ ~ Sm ~ Gd. Бедный Ті алланит-(Се) заметно богаче Y – до 1-1.5 мас. % и Sc – до 0.4 мас. %, чем Ті алланит-(Се). В целом из 18 анализов алланита-(Се) самарий обнаружен в 13, гадолиний – в 12, диспрозий — в 2 анализах.

Алланит-(Y), впервые установленный в Крыму, слагает оторочки кристаллов титанистого и низкотитанистого алланита-(Се) (рис. 3б, 4в; ан. № 13, табл. 2). Алланит-(Y) крайне беден титаном, в проходящем свете почти не окрашен. Распределение

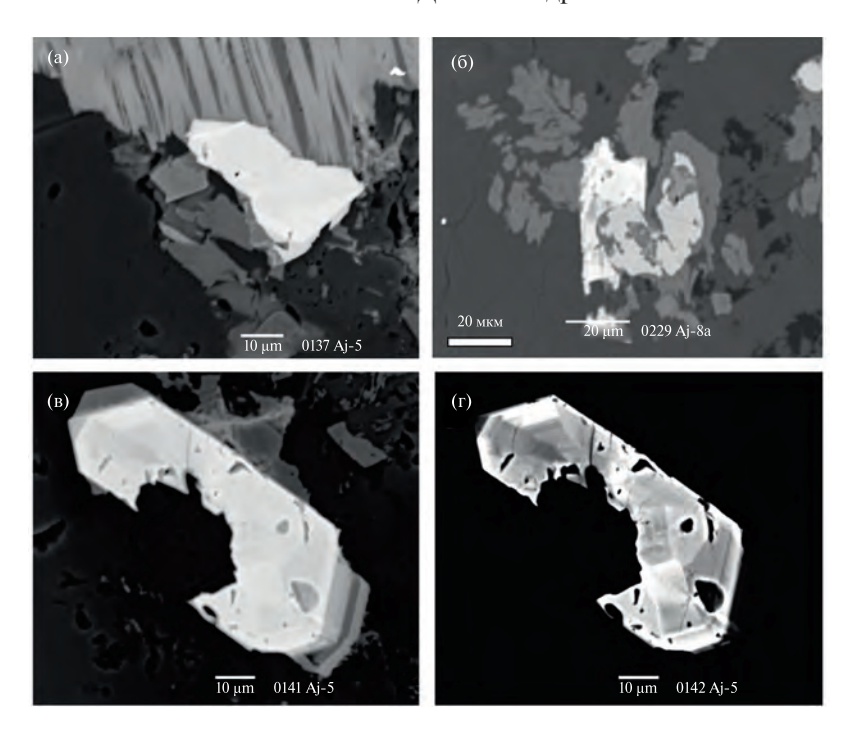


Рис. 4. Биотитсодержащие кварцевые габбронорит-долериты и габбронорит-диориты северо-востока причерноморской полосы интрузива Аю-Даг: (а) — алланит-(Се) (белый, ан. № 14—17) в срастании с биотитом; (б) — Ті-V алланит-(Се) (светлый, ан. № 18—19) замещает ильменит (серый); (в, г) — секториально-зональный кристалл алланита-(Се) (светлый) с тонкой оторочкой алланита-(Y) (темно-серая сверху на левом нижнем снимке). BSE image.

Таблица 1. Химический состав (мас. %) Ті алланита-(Се) (№ 1, 3–6), алланита-(Се) (№ 2) (рис. 1) биотит-кварцевых габбронорит-долеритов юго-запада интрузива Аю-Даг

Компонент	1 (рис. 1б)	2 (рис. 1б)	3 (рис. 1в)	4 (рис. 1в)	5 (рис. 1г)	6 (рис. 1г)
SiO ₂	31.00	31.91	30.11	30.06	30.76	31.19
TiO ₂	3.09	0.19	2.80	2.35	3.37	2.62
V_2O_3	на	на	0.58	0.48	0.47	0.36
Al_2O_3	15.93	16.67	10.91	11.90	13.12	14.48
Fe ₂ O ₃	1.10	3.40	5.13	4.43	1.47	1.02
FeO	12.83	11.42	11.56	12.962	14.14	12.83
MnO	нпо	нпо	0.22	0.28	нпо	нпо
MgO	нпо	нпо	1.06	0.59	0.26	0.25
CaO	11.19	11.10	9.67	9.63	10.44	11.14
Ce_2O_3	12.19	11.61	13.71	13.32	12.68	11.41
La ₂ O ₃	5.25	5.06	8.47	7.90	7.13	6.72
Nd ₂ O ₃	4.52	5.63	2.80	3.67	3.57	3.32
Pr ₂ O ₃	1.23	0.92	0.83	1.07	0.95	0.84
Sm_2O_3	нпо	нпо	нпо	0.35	нпо	нпо
Eu ₂ O ₃	нпо	нпо	нпо	нпо	нпо	нпо
Gd_2O_3	на	на	нпо	0.40	нпо	0.37
Tb ₂ O ₃	нпо	нпо	нпо	нпо	нпо	нпо
Dy ₂ O ₃	на	на	на	на	0.60	0.63

Таблица 1. Окончание

1 (рис. 1б)	2 (рис. 1б)	3 (рис. 1в)	4 (рис. 1в)	5 (рис. 1г)	6 (рис. 1г)
нпо	нпо	нпо	нпо	нпо	нпо
нпо	нпо	нпо	нпо	нпо	нпо
нпо	нпо	нпо	нпо	нпо	нпо
0.86	1.53	0.50	0.60	0.55	0.77
0.24	нпо	0.09	нпо	0.18	0.27
нпо	нпо	0.71	0.25	нпо	нпо
99.43	99.57	99.17	99.92	98.69	97.99
	Число	о атомов в форм	иуле		
1.000	1.000	1.000	1.000	1.000	1.000
			1		
0.421	0.400	0.494	0.478	0.452	0.401
0.182	0.175	0.308	0.286	0.256	0.237
0.152	0.189	0.098	0.128	0.124	0.114
0.042	0.031	0.030	0.038	0.034	0.029
_	_	_	0.012	_	_
_	_	_	0.014	_	0.013
0.807	0.795	0.930	0.956	0.866	0.794
0.043	0.077	0.026	0.031	0.029	0.039
0.020	0.011	0.008	0.008	0.015	0.022
0.130	0.117	0.021	_	0.090	0.145
			1		
1.000	0.898	0.826	0.891	0.978	0.980
_	0.102	_	_	_	_
_	_	0.156	0.086	0.022	0.020
_	_	0.018	0.023	_	_
			1		
1.692	1.847	1.234	1.319	1.463	1.630
0.078	0.139	0.403	0.327	0.079	0.103
0.181	_	0.169	0.143	0.174	0.050
0.219	0.014	0.208	0.173	0.247	0.180
_	_	0.046	0.038	0.037	0.028
			2		
2.922	3.000	2.967	2.945	2.957	2.992
0.078		0.033	0.055	0.043	0.008
	(рис. 16) нпо нпо нпо о.86 о.24 нпо 99.43 1.000 0.421 о.182 о.152 о.042 0.807 о.043 о.020 о.130 1.000 1.692 о.078 о.181 о.219 -	(рис. 16) (рис. 16) нпо нпо нпо нпо нпо нпо нпо нпо нпо нпо нпо нпо нпо 99.43 99.57 Число 1.000 1.000 0.421 0.400 0.182 0.175 0.152 0.189 0.042 0.031 - - 0.807 0.795 0.043 0.077 0.020 0.011 0.130 0.117 1.000 0.898 - 0.102 - - 1.692 1.847 0.078 0.139 0.181 - 0.219 0.014 - -	(рис. 16) (рис. 18) (рис. 18) нпо нпо нпо нпо нпо нпо нпо нпо нпо 0.86 1.53 0.50 0.24 нпо 0.09 нпо нпо 0.71 99.43 99.57 99.17 Число атомов в форм 1.000 1.000 1.000 0.421 0.400 0.494 0.182 0.175 0.308 0.152 0.189 0.098 0.042 0.031 0.030 - - - 0.807 0.795 0.930 0.043 0.077 0.026 0.020 0.011 0.008 0.130 0.117 0.021 1.000 0.898 0.826 - - 0.018 1.692 1.847 1.234 0.078 0.139 0.403 0.181 - 0.169	(рис. 16) (рис. 16) (рис. 1в) (рис. 1в) нпо нпо нпо нпо нпо нпо нпо нпо нпо нпо нпо нпо 0.86 1.53 0.50 0.60 0.24 нпо 0.09 нпо нпо нпо 0.71 0.25 99.43 99.57 99.17 99.92 Число атомов в формуле 1.000 1.000 1.000 1.000 0.421 0.400 0.494 0.478 0.182 0.175 0.308 0.286 0.152 0.189 0.098 0.128 0.042 0.031 0.030 0.038 - - - 0.012 - - - 0.012 - - - 0.014 0.807 0.795 0.930 0.956 0.043 0.077 0.026 0.031 0.020	(рис. 16) (рис. 16) (рис. 1в) (рис. 1в) (рис. 1г) нпо нпо нпо нпо нпо нпо нпо нпо нпо нпо нпо нпо 0.86 1.53 0.50 0.60 0.55 0.24 нпо 0.09 нпо 0.18 нпо нпо 0.71 0.25 нпо 99.43 99.57 99.17 99.92 98.69 Число атомов в формуле 1.000 1.000 1.000 1.000 1.000 1.000 1.000 1.000 1.000 1.000 0.421 0.400 0.494 0.478 0.452 0.182 0.175 0.308 0.286 0.256 0.152 0.189 0.098 0.128 0.124 0.042 0.031 0.030 0.038 0.034 - - - 0.012 - - - - 0.014

Примечания.
нпо — ниже предела обнаружения; на — элемент не определялся.

Таблица 2. Химический состав (мас. %) Ті ферриалланита-(Се) (№ 7), алланита-(Се) (№ 8—12) и алланита-(Y) (№ 13) сложно-зонального кристалла (рис. 26) в биотит-кварцевых габбронорит-долеритах центральной части интрузива Аю-Даг

интрузива Аю-,	даг			T	T	I	T
Компонент	7	8	9	10	11	12	13
SiO ₂	28.46	30.90	32.33	31.03	31.23	31.78	32.14
TiO ₂	3.08	0.32	1.57	0.58	0.60	0.23	нпо
$\overline{\text{Al}_2\text{O}_3}$	10.25	16.96	16.91	16.95	17.81	17.34	18.80
Fe ₂ O ₃	9.89	2.91	2.83	3.66	3.05	2.49	1.22
FeO	6.85	10.70	10.71	9.96	9.95	10.91	12.54
MnO	0.31	нпо	0.19	0.24	0.14	нпо	нпо
MgO	0.80	0.25	0.33	0.29	0.25	0.21	нпо
CaO	10.19	10.65	12.18	11.19	11.47	11.00	12.16
Ce ₂ O ₃	13.32	11.63	10.88	10.93	10.18	10.38	4.93
La ₂ O ₃	5.60	5.64	5.46	5.48	5.73	4.29	2.36
Nd ₂ O ₃	4.84	4.66	3.69	4.19	4.16	5.37	4.87
Pr ₂ O ₃	1.10	1.16	0.81	0.93	1.13	1.30	0.47
Sm_2O_3	0.56	0.57	0.39	0.69	0.47	1.10	1.40
Eu ₂ O ₃	нпо	нпо	нпо	нпо	нпо	нпо	нпо
Gd_2O_3	0.44	0.46	0.30	0.68	0.48	0.75	1.29
Tb ₂ O ₃	нпо	нпо	нпо	нпо	нпо	нпо	нпо
Dy ₂ O ₃	нпо	нпо	нпо	нпо	нпо	нпо	нпо
Ho ₂ O ₃	нпо	нпо	нпо	нпо	нпо	нпо	нпо
Er ₂ O ₃	нпо	нпо	нпо	нпо	нпо	нпо	нпо
Yb ₂ O ₃	нпо	нпо	нпо	нпо	нпо	нпо	нпо
Y_2O_3	0.58	1.12	0.97	1.14	1.21	1.35	6.11
Sc ₂ O ₃	0.19	нпо	0.38	0.16	0.13	0.15	0.14
ThO ₂	0.73	нпо	нпо	нпо	нпо	0.24	нпо
Сумма	97.19	97.91	99.93	98.17	97.99	98.89	98.43
			Число ато	мов в форму	⁄ле		
Ca	1.000	1.000	1.000	1.000	1.000	1.000	1.000
Сумма				1			
Се	0.465	0.409	0.367	0.380	0.351	0.358	0.165
La	0.197	0.200	0.185	0.192	0.200	0.149	0.080
Nd	0.165	0.160	0.121	0.142	0.140	0.181	0.159
Pr	0.038	0.040	0.027	0.032	0.039	0.044	0.015
Sm	0.018	0.019	0.012	0.023	0.015	0.036	0.044
Gd	0.015	0.016	0.009	0.023	0.016	0.025	0.041
REE	0.898	0.844	0.721	0.792	0.761	0.793	0.504
Y	0.029	0.057	0.048	0.058	0.061	0.068	0.297
Sc	0.016	_	0.030	0.013	0.011	0.013	0.011
Th	0.015	_	_	_	_	0.005	_
Ca	0.042	0.096	0.201	0.137	0.167	0.121	0.188
	I	1		L	1	I.	1

Таблица 2. Окончание

Компонент	7	8	9	10	11	12	13				
Сумма				1							
Fe ²⁺	0.857	0.860	0.824	0.791	0.784	0.859	0.958				
Fe ³⁺	0.005	0.104	0.116	0.148	0.181	0.111	0.042				
Mg	0.113	0.036	0.045	0.041	0.035	0.030	_				
Mn ²⁺	0.025	_	0.015	0.020	_	_	_				
Сумма				1							
Al	0.867	1.890	1.810	1.845	1.922	1.918	1.958				
Fe ³⁺	0.912	0.087	0.081	0.113	0.036	0.065	0.042				
Ti	0.221	0.023	0.109	0.042	0.042	0.017	_				
Сумма				2							
Si	2.714	2.969	2.976	2.947	2.944	2.993	2.935				
Al	0.286	0.031	0.024	0.053	0.056	0.007	0.065				
Сумма		3									

Таблица 3. Химический состав (мас. %) Ті алланита-(Се) (ан. № 14—17) (рис. 3а) и Ті-V алланита-(Се) (ан. № 18—19) (рис. 3б) биотит-кварцевых габбронорит-долеритов восточной части интрузива Аю-Даг

Компонент	14	15	16	17	18	19
SiO ₂	30.26	29.99	30.26	30.44	30.15	29.45
TiO ₂	3.16	3.13	3.64	3.19	2.89	2.47
V_2O_3	0.52	0.52	0.45	0.67	3.18	4.41
Al_2O_3	13.38	12.38	13.91	12.57	12.14	9.66
Fe ₂ O ₃	0.14	1.72	1.05	2.20	1.14	3.81
FeO	14.42	14.01	11.51	13.67	13.14	12.26
MnO	нпо	нпо	нпо	нпо	нпо	0.16
MgO	0.23	0.23	0.22	0.33	0.56	0.55
CaO	9.51	9.66	10.09	9.46	9.90	9.55
Ce ₂ O ₃	13.62	13.81	13.78	13.92	12.19	13.37
La ₂ O ₃	7.81	7.81	7.42	7.97	10.96	10.37
Nd_2O_3	4.09	3.84	4.19	3.87	1.71	1.90
Pr_2O_3	1.13	1.11	1.03	1.05	0.44	0.64
Sm_2O_3	0.27	0.19	0.21	0.26	нпо	нпо
Eu_2O_3	нпо	нпо	нпо	нпо	нпо	нпо
Gd_2O_3	0.31	0.21	0.31	0.21	нпо	нпо
Tb ₂ O ₃	нпо	нпо	нпо	нпо	нпо	нпо
Dy ₂ O ₃	нпо	нпо	нпо	нпо	нпо	нпо
Ho_2O_3	нпо	нпо	нпо	нпо	нпо	нпо
Er_2O_3	нпо	нпо	нпо	нпо	нпо	нпо
Yb ₂ O ₃	нпо	нпо	нпо	нпо	нпо	нпо
Y_2O_3	0.21	0.21	0.19	0.21	нпо	нпо
Sc_2O_3	0.16	0.14	0.16	0.10	0.13	0.10

Таблица 3. Окончание

Компонент	14	15	16	17	18	19
ThO_2	нпо	нпо	нпо	нпо	0.53	0.71
Сумма	99.52	98.96	98.42	100.12	99.09	99.41
		Числе	о атомов в фор	омуле		
Ca	1.000	1.000	1.000	1.000	1.000	1.000
Сумма				1		
Ce	0.489	0.499	0.484	0.503	0.435	0.487
La	0.282	0.284	0.262	0.284	0.394	0.381
Nd	0.143	0.135	0.144	0.133	0.100	0.068
Pr	0.041	0.040	0.036	0.037	0.016	0.023
Sm	0.009	0.007	0.007	0.008	_	_
Gd	0.011	0.007	0.010	0.007	_	_
REE	0.975	0.972	0.943	0.972	0.945	0. 959
Y	0.011	0.011	0.010	0.011	_	_
Sc	0.014	0.012	0.013	0.008	0.011	0.008
Th	_	_	_	_	0.011	0.015
Ca	_	0.005	0.034	0.008	0.033	0.018
Сумма				1		
Fe ²⁺	0.966	0.966	0.968	0.953	0.919	0.905
Mg	0.034	0.034	0.032	0.047	0.081	0.081
Mn ²⁺	_	_	_	_	_	0.014
Сумма				1		
Al	1.513	1.406	1.478	1.362	1.331	1.063
Fe ³⁺	0.013	0.128	0.091	0.162	0.082	0.285
Fe ²⁺	0.200	0.192	0.133	0.184	0.127	0.115
Ti	0.233	0.233	0.263	0.238	0.212	0.185
V	0.041	0.041	0.035	0.052	0.248	0.352
Сумма				2		
Si	2.967	2.964	2.904	2.954	2.937	2.930
Al	0.033	0.036	0.096	0.046	0.063	0.070
Сумма				3		

иттрия и лантанидов в нем специфичное: Y >> Ce = Nd >> La >> Sm = Gd >> Pr.

Интрузив Партенит

Редкоземельные минералы группы эпидота развиты в кварцсодержащих габбронорит-долеритах и габбронорит-диоритах, где они слагают частичные псевдоморфозы по чевкиниту-(Се) (рис. 5а) и перрьериту-(Се) (рис. 5б) и обособленные кристаллы (рис. 5в, 5г), обычно в срастаниях

с биотитом и около его выделений. Ферриалланит и богатый титаном алланит-(Ce) в габброидах Партенита не обнаружены, возможно, из-за малого числа изученных кристаллов. Распределение лантанидов и иттрия в алланите-(Ce) Партенита: Ce >> La > Nd > Y > Pr > Sm \sim Gd (ан. № 20—24, табл. 4). Ряд кристаллов алланита-(Ce) окружен оторочкой алланита-(Y) (рис. 4г). В алланите-(Y) кварцевых габброидов Партенита распределение иттрия и лантанидов весьма своеобразное: Y >> >> Ce > Nd \sim Dy > Gd = Er > Yb = La > Sm >> Pr

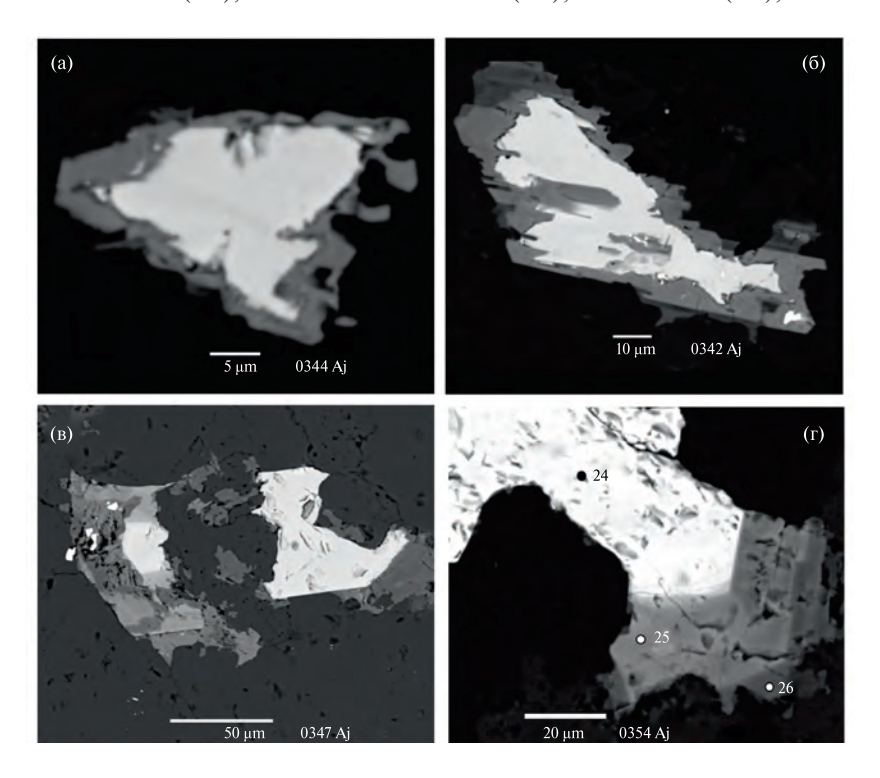


Рис. 5. Биотитсодержащие кварцевые габбронорит-долериты и габбронорит-диориты интрузива Партенит: (а) — кайма замещения алланита-(Се) (серый, ан. № 20) вокруг чевкинита-(Се) (светлый); (б) — кайма замещения алланита-(Се) (серый, ан. № 21) вокруг перрьерита-(Се) (светлый); (в) — деформированный кристалл алланита-(Се) (светлый, ан. № 22—23) с каймой REE эпидота (серый); (г) — зональный кристалл: алланит-(Се) (ан. № 24), алланит (Y) (ан. № 25), REE эпидот (ан. № 26). BSE image.

Таблица 4. Химический состав (мас. %) алланита-(Се) (№ 20—24), алланита-(Y) (№ 25), REE эпидота (№ 26) (рис. 4) биотит-кварцевых габбронорит-диоритов интрузива Партенит

Компонент	20 (рис. 4a)	21 (рис. 4б)	22 (рис. 4в)	23 (рис. 4в)	24 (рис. 4г)	25 (рис. 4г)	26 (рис. 4г)
SiO ₂	32.23	31.72	30.98	31.32	30.87	34.39	33.82
TiO ₂	1.14	0.41	1.91	1.70	1.72	нпо	1.51
$\overline{V_2O_3}$	нпо	нпо	нпо	0.17	0.23	нпо	нпо
$\overline{\text{Al}_2\text{O}_3}$	15.47	16.05	14.19	15.05	13.98	20.16	18.54
Fe ₂ O ₃	6.64	9.19	5.59	5.61	5.96	8.82	9.56
FeO	8.59	6.80	10.12	9.53	9.38	4.64	4.92
MnO	0.14	0.18	0.18	нпо	нпо	0.43	0.23
MgO	1.29	1.22	1.77	1.60	1.91	0.78	1.28
CaO	12.10	12.62	10.73	10.74	10.22	15.79	16.00
Ce ₂ O ₃	11.80	9.80	11.15	11.87	12.75	1.49	6.87
La ₂ O ₃	6.44	4.64	5.51	5.93	5.48	0.49	3.37
Nd_2O_3	3.25	3.30	4.40	4.57	5.05	1.15	2.37
Pr_2O_3	0.89	0.92	1.15	1.02	1.30	0.42	0.76
Sm_2O_3	0.31	0.55	0.88	0.91	0.86	0.56	0.31
Eu ₂ O ₃	нпо						
Gd_2O_3	0.36	0.57	0.82	0.87	0.65	0.74	нпо

Таблица 4. Окончание

Таблица 4. Оконч					I		I
Компонент	20 (рис. 4a)	21 (рис. 4б)	22 (рис. 4в)	23 (рис. 4в)	24 (рис. 4г)	25 (рис. 4г)	26 (рис. 4г)
Tb_2O_3	нпо	нпо	нпо	нпо	0.60	нпо	нпо
Dy_2O_3	нпо	0.34	0.54	0.63	0.60	1.12	нпо
Ho_2O_3	нпо						
Er ₂ O ₃	нпо	0.31	нпо	нпо	нпо	0.83	нпо
Tb ₂ O ₃	нпо	нпо	нпо	нпо	0.60	нпо	нпо
Yb ₂ O ₃	нпо	нпо	нпо	нпо	нпо	0.57	нпо
$\overline{Y_2O_3}$	0.93	1.83	1.60	1.40	0.92	6.95	0.70
ThO ₂	нпо						
Сумма	101.54	100.28	100.48	102.82	102.38	99.42	100.24
		1	Число атомов	в формуле			
Ca	1.000	1.000	1.000	1.000	1.000	1.000	1.000
Сумма				1			
Ce	0.395	0.329	0.379	0.407	0.438	0.047	0.217
La	0.217	0.157	0.190	0.205	0.189	0.015	0.107
Nd	0.106	0.108	0.146	0.153	0.169	0.035	0.073
Pr	0.030	0.031	0.039	0.035	0.045	0.007	0.024
Sm	0.010	0.018	0.032	0.029	0.028	0.012	0.009
Gd	0.012	0.018	0.027	0.029	0.021	0.022	_
Tb	_	_	_	_	0.019	_	_
Dy	_	0.010	0.040	0.020	0.019	0.032	_
Er	_	0.009	_	_	_	0.022	_
Yb	_	_	_	_	_	0.015	_
REE	0.770	0.680	0.852	0.878	0.928	0.207	0.430
Y	0.045	0.088	0.079	0.070	0.046	0.316	0.032
Ca	0.185	0.232	0.069	0.052	0.026	0.477	0.538
Сумма				1			
Fe ²⁺	0.657	0.521	0.742	0.759	0.733	0.331	0.355
Fe ³⁺	0.156	0.299	_	_	_	0.538	0.522
Mg	0.176	0.166	0.244	0.241	0.267	0.100	0.123
Mn ²⁺	0.011	0.014	0.014	_	_	0.031	_
Сумма				1			
Al	1.619	1.637	1.431	1.482	1.440	1.970	1.803
Fe ³⁺	0.302	0.335	0.436	0.388	0.422	0.030	0.098
Ti	0.079	0.028	0.133	0.118	0.121	_	0.118
V	_	_	_	0.012	0.017	_	_
Сумма				2			
Si	2.950	2.905	2.878	2.937	2.895	2.939	2.918
Al	0.050	0.095	0.122	0.063	0.105	0.061	0.082
Сумма				3			

(ан. № 25, табл. 4). Многие кристаллы алланита окружены зональными каймами REE эпидота (рис. 5в, 5г). В REE эпидоте: Ce >> La > Nd >> Y > > Pr >> Sm (ан. № 26, табл. 4). Торий в этих минералах не обнаружен.

Интрузив Лебединского

Ведущий редкоземельный минерал группы эпидота в кварцсодержащих габбронорит-долеритах — это алланит-(Се) с 2.5—4.9, в среднем с 3.7 мас. % TiO_2 (ан. № 27—32, табл. 5), внешние зоны которого содержат до 1.8 мас. % Th. Он слагает призматиче-

ские кристаллы густо-коричневого и коричневого цвета в срастаниях с биотитом и около его выделений (рис. ба, 7в). Окраска богатого титаном алланита-(Се) напоминает окраску обогащенного титаном магматического биотита. Обычно густоокрашенный Ті алланит-(Се) окружен тонкой оторочкой светло-коричневого алланита-(Се) с 1.3 мас. % TiO_2 (ан. № 33, табл. 5). Нередко на кристаллы алланита-(Се) нарос REE эпидот (рис. 6г). Распределение лантанидов и иттрия в богатом Ті алланите-(Се): Се > La >> >> Nd >> Y ~ Pr > Gd > Yb > Tb; в алланите-(Се): Се > Nd > La >> Y > Pr > Sm > Gd > Er; в REE эпидоте: Се > Y > Nd = La >> Gd = Pr ~ Dy > Eu = Er. Итак,

Таблица 5. Химический состав (масс. %) Ті алланита-(Се) (№ 27—32), алланита-(Се) (№ 33) и REE эпидота (№ 34) сложно зонального кристалла (рис. 5г) в биотит-кварцевых габбронорит-долеритах интрузива Лебединского

Компонент	27	28	29	30	31	32	33	34		
SiO ₂	28.92	30.04	29.61	29.80	31.14	31.17	32.60	35.78		
TiO ₂	4.85	3.70	3.94	3.73	2.50	3.70	1.26	1.04		
V_2O_3	0.27	0.60	0.28	0.25	0.45	0.41	0.65	нпо		
Al ₂ O ₃	8.11	11.73	9.86	8.19	13.03	12.44	17.84	18.55		
Fe ₂ O ₃	4.70	5.47	4.20	9.34	3.42	2.13	5.37	5.74		
FeO	12.07	11.37	12.46	11.03	10.48	11.51	7.14	4.72		
MnO	0.39	0.25	0.40	0.62	0.80	1.01	0.27	0.49		
MgO	1.17	1.24	1.20	1.26	1.22	1.19	1.20	нпо		
CaO	9.03	10.47	9.41	10.11	10.95	10.97	13.63	19.14		
Ce ₂ O ₃	12.83	12.47	13.14	11.23	11.06	10.05	8.55	2.85		
La ₂ O ₃	8.65	9.54	8.45	8.96	6.64	7.32	2.92	1.22		
Nd_2O_3	2.52	2.88	3.61	3.15	3.80	4.37	4.92	1.32		
Pr_2O_3	0.74	0.64	0.76	0.69	0.99	0.51	1.10	0.38		
Sm ₂ O ₃	нпо	нпо	нпо	нпо	нпо	нпо	0.80	нпо		
Eu ₂ O ₃	нпо	нпо	нпо	нпо	нпо	нпо	нпо	0.31		
Gd_2O_3	нпо	нпо	нпо	0.35	нпо	0.32	0.52	0.43		
Tb ₂ O ₃	нпо	нпо	нпо	0.46	нпо	нпо	нпо	нпо		
Dy ₂ O ₃	0.48	нпо	0.49	нпо	нпо	нпо	нпо	0.38		
Ho ₂ O ₃	нпо	нпо	нпо	нпо	нпо	нпо	нпо	нпо		
Er_2O_3	нпо	нпо	нпо	нпо	нпо	нпо	0.41	0.33		
Yb ₂ O ₃	0.36	нпо	0.37	нпо	нпо	нпо	0.57	нпо		
Y_2O_3	0.53	0.47	0.53	0.66	0.73	0.81	0.95	1.12		
Sc_2O_3	нпо	0.13	нпо	0.09	0.15	0.12	0.13	0.15		
ThO ₂	0.33	0.37	0.34	0.18	1.84	1.75	0.92	0.62		
Сумма	95.95	101.37	98.52	100.10	99.20	99.78	100.52	102.02		
			Число ат	гомов в фор	омуле					
Ca	1.000	1.000	1.000	1.000	1.000	1.000	1.000	1.000		
Сумма	1									

Таблица 5. Окончание

Von Touris	27	28	29	30	31	32	33	34
Компонент								
Ce	0.485	0.436	0.477	0.404	0.388	0.352	0.280	0.088
La	0.330	0.337	0.309	0.325	0.235	0.258	0.096	0.038
Nd	0.093	0.098	0.128	0.110	0.130	0.149	0.157	0.039
Pr	0.028	0.023	0.027	0.025	0.035	0.018	0.036	0.012
Sm (Eu)	_	_	_	_	_	_	0.025	(0.009)
Gd	_	_	_	0.012	_	0.011	0.016	0.013
Dy (Tb)	0.017	_	0.016	(0.015)	_	_	_	0.011
Er	_	_	_	_	_	_	0.011	0.009
Yb	0.011	_	0.011	_	_	_	_	_
REE	0.964	0.894	0.968	0.891	0.788	0.788	0.621	0.219
Y	0.029	0.024	0.025	0.079	0.037	0.041	0.045	0.050
Sc	_	0.011	_	0.008	0.013	0.010	0.010	0.011
Th	0.007	0.008	0.007	0.004	0.038	0.036	0.018	0.011
Ca	_	0.073	_	0.063	0.124	0.125	0.306	0.709
Сумма					1			
Fe ²⁺	0.786	0.806	0.786	0.764	0.760	0.761	0.534	0.332
Fe ³⁺	_	_	_	_	_	_	0.288	0.603
Mg	0.180	0.177	0.177	0.185	0.175	0.170	0.158	_
Mn ²⁺	0.034	0.017	0.034	0.051	0.065	0.069	0.020	0.035
Сумма					1			
Al	0.977	1.192	1.126	0.875	1.458	1.388	1.795	1.833
Fe ³⁺	0.258	0.394	0.314	0.690	0.247	0.153	0.073	0.102
Fe ²⁺	0.366	0.102	0.244	0.142	0.080	0.161	_	_
Ti	0.377	0.266	0.294	0.274	0.180	0.266	0.085	0.065
V	0.022	0.046	0.022	0.019	0.035	0.032	0.047	_
Сумма			1	1	2		1	
Si	2.989	2.871	2.950	2.927	2.986	2.984	2.915	3.000
Al	0.011	0.129	0.050	0.073	0.014	0.016	0.085	_
Сумма					3			

алланит-(Ce) и REE эпидот внешних зон кристаллов заметно обогащены неодимом относительно лантана и тяжелыми лантанидами.

Интрузив Кушнарёвский (Первомайский)

Редкоземельные минералы группы эпидота развиты в кварцсодержащих габбронорит-долеритах и габбронорит-диоритах нижней части и в низах средней части интрузива, обычно в срастании с биотитом и около его выделений (рис. 7). Богатый титаном (3.8—4.6 мас. % TiO₂) ферриалланит-(Се) густо-коричневого цвета в проходящем свете слагает центральную часть кристаллов алланита,

нередко довольно крупных — до 0.6 мм (рис. 7а, б) (ан. № 35—36, табл. 6); внешние зоны обогащены торием — до 1.8 мас. %. Его окружает богатый титаном (2.5—3.8 мас. % TiO_2) алланит-(Се) коричневого и густо-коричневого цвета в проходящем свете (рис. 7а, б) (ан. № 37—38, табл. 6). Нередко с ферриалланитом-(Се) и алланитом-(Се) образуют срастания пластины биотита (рис. 7в). Не столь редко внешнюю зону кристаллов алланита-(Се) слагает алланит-(Y) (рис. 7в, г). На алланит наросла зональная оторочка REE эпидота, содержащего 0.3—1.1 мас. % TiO_2 , коричневатого или почти не окрашенного в проходящем свете (рис. 7а, б)

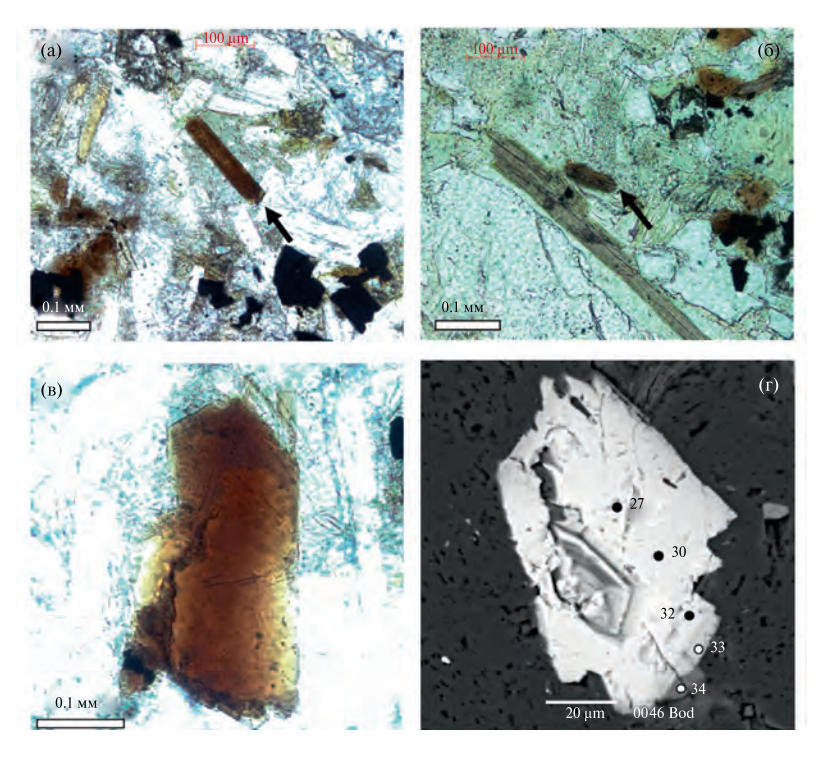


Рис. 6. Ті алланит-(Се) в биотитсодержащих кварцевых габбронорит-долеритах и габбронорит-диоритах интрузива Лебединского: (а, б, в) — в проходящем свете при 1 николе; (а) — в центре удлиненный кристалл Ті алланита-(Се) темно-коричневого цвета; (б) — в центре кристалл алланита-(Се) коричневого цвета несколько выше пластины биотита; (в) — кристалл Ті алланита-(Се) коричневого цвета с каймой REE эпидота (сверху справа); освещение усилено; (г) — зональный кристалл: Ті алланит-(Се) (ан. № 27—32), алланит-(Се) (ан. № 33), REE эпидот (ан. № 34); BSE image.

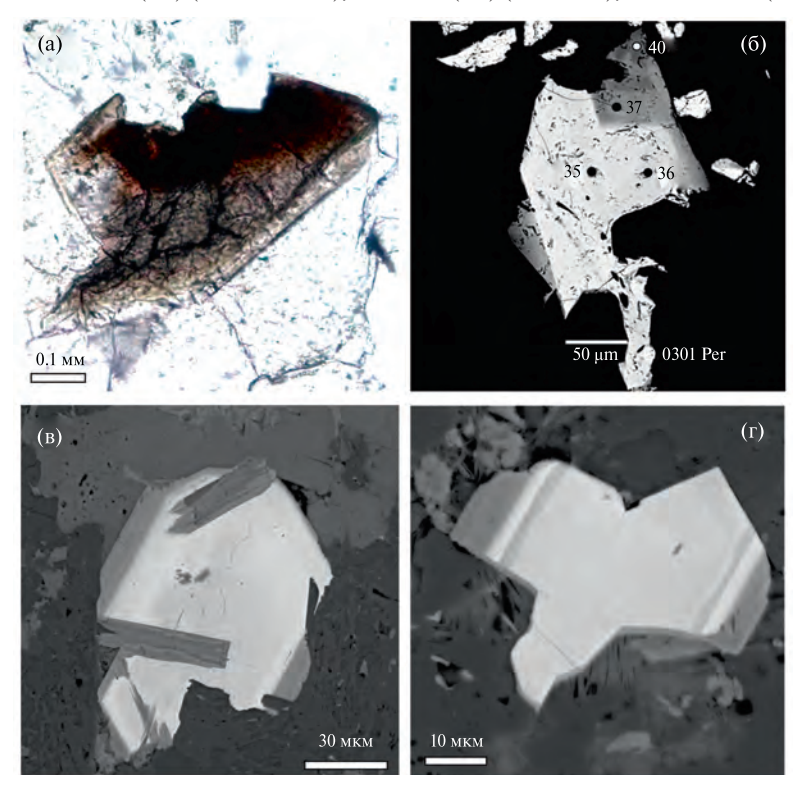


Рис. 7. Зональные кристаллы в биотит-кварцевых габбронорит-диоритах низов средней части Кушнарёвского интрузива: (а) — центр — густо-коричневый Ті алланит-(Се), более светло-коричневый алланит-(Се), более светлая оторочка — REE эпидот. В проходящем свете при 1 николе, освещение усилено; (б) — Ті ферриалланит-(Се) (ан. № 35—36), Ті алланит (Се) (ан. № 37), REE эпидот (ан. № 40); (в) — включения пластин биотита (серые) в алланите-(Се); (в, г) — алланит-(Се) с внешней серой зоной алланита-(Ү). BSE ітаде.

Таблица 6. Химический состав (мас. %) Ті ферриалланита-(Се) (№ 35—36), Ті алланита-(Се) (№ 37—38), REE эпидота (№ 39—40) зонального кристалла в биотит-кварцевых габбронорит-диоритах интрузива Кушнарёвский (рис. 66)

(рис. 60)			I		1	
Компонент	35	36	37	38	39	40
Komnonen	центр	у центра	промеж.	край	ОТО	рочка
SiO ₂	28.83	29.43	31.73	31.33	33.59	36.19
TiO ₂	4.60	3.81	3.77	2.52	0.27	1.06
V_2O_3	0.31	0.32	0.52	0.55	нпо	нпо
Al_2O_3	6.61	8.27	12.46	12.93	19.90	22.64
Fe ₂ O ₃	9.49	11.11	3.33	4.93	9.55	7.87
FeO	11.86	10.15	10.67	9.61	4.70	2.81
MnO	0.38	0.63	1.02	0.76	0.58	0.48
MgO	1.11	1.30	1.14	1.22	нпо	нпо
CaO	9.79	10.45	11.91	11.50	16.76	19.32
Ce ₂ O ₃	12.17	11.44	10.23	11.01	5.40	2.86
La ₂ O ₃	8.62	9.12	7.46	6.62	2.32	1.24
Nd ₂ O ₃	2.39	2.19	2.05	2.82	2.33	1.34
Pr ₂ O ₃	0.70	0.70	0.59	0.94	0.46	0.38
Sm_2O_3	нпо	нпо	нпо	нпо	0.37	нпо
Eu ₂ O ₃	нпо	нпо	нпо	нпо	нпо	0.31
Gd ₂ O ₃	нпо	0.35	0.33	нпо	0.33	0.44
Tb ₂ O ₃	нпо	0.47	нпо	нпо	нпо	нпо
Dy ₂ O ₃	0.45	нпо	нпо	нпо	0.32	0.38
Ho ₂ O ₃	нпо	нпо	нпо	нпо	нпо	нпо
Er ₂ O ₃	нпо	нпо	нпо	нпо	нпо	0.33
Yb ₂ O ₃	0.35	нпо	нпо	нпо	нпо	нпо
Y_2O_3	0.50	0.67	0.83	0.75	1.12	1.14
Sc_2O_3	нпо	0.09	0.13	0.17	0.20	0.15
ThO ₂	0.31	0.19	1.80	1.26	нпо	0.63
Сумма	98.47	100.69	99.90	98.73	98.20	98.57
		Число	атомов в форму	ле		
Ca	1.000	1.000	1.000	1.000	1.000	1.000
Сумма			1			
Ce	0.450	0.408	0.353	0.384	0.173	0.087
La	0.321	0.328	0.259	0.233	0.075	0.038
Nd	0.086	0.076	0.069	0.096	0.072	0.040
Pr	0.025	0.025	0.018	0.033	0.015	0.011
Sm (Eu)	_	_	_	_	0.011	(0.009)
Gd	_	0.012	0.011	_	0.010	0.013
Dy (Tb)	0.015	(0.015)	_	_	0.009	0.011
Er (Yb)	(0.011)	_	_	_	_	0.009
REE	0.908	0.864	0.710	0.746	0.365	0.213

Таблица 6. Окончание

Компонент	35	36	37	38	39	40
KOMHOHCHI	центр	у центра	промеж.	край	ото	рочка
Y	0.027	0.035	0.042	0.038	0.052	0.050
Sc	_	0.008	0.010	0.014	0.015	0.011
Th	0.007	0.004	0.036	0.026	_	0.011
Ca	0.058	0.089	0.202	0.176	0.568	0.715
Сумма			1			
Fe ²⁺	0.800	0.771	0.758	0.766	0.343	0.195
Fe ³⁺	_	_	_	_	0.614	0.870
Mg	0.167	0.189	0.160	0.173	_	_
Mn ²⁺	0.033	0.052	0.082	0.031	0.043	0.035
Сумма			1			
Al	0.705	0.814	1.375	1.441	1.982	1.934
Fe ³⁺	0.721	0.827	0.236	0.335	_	_
Fe ²⁺	0.200	0.055	0.083	_	_	_
Ti	0.349	0.279	0.267	0.181	0.018	0.066
V	0.025	0.025	0.039	0.043	_	_
Сумма			2			
Si	2.909	2.865	2.991	2.988	2.933	3.000
Al	0.081	0.135	0.009	0.012	0.067	_
Сумма			3			

(ан. № 39—40, табл. 6). Распределение лантанидов и иттрия в редкоземельных минералах кушнаревских габброидов таково — в Ті ферриалланите-(Се): Се > La >> Nd >> Y ~ Pr > Dy = Tb ~ Gd ~ Er; в Ті алланите-(Се): Се > La >> Nd > Y > Pr > Gd; в REE эпидоте: Се >> La = Nd ~ Y >> Pr ~ Gd ~ Tу >> Pr ~ Gd ~

АЛЛАНИТ-(Ce) И REE ЭПИДОТ В ПЛАГИОГРАНИТОИДАХ

Интрузив Кушнарёвский (Первомайский)

В кварцевых диоритах верхов средней части интрузива кристаллы алланита-(Се) с каймой REE эпидота напоминают кристаллы этих минералов в габброидах, но здесь часто размер центральной густоокрашенной зоны меньше, чем окружающей светлоокрашенной зоны. Густоокрашенную зону слагают Ti- или Ti-V алланит-(Се) с 2.5 мас. %

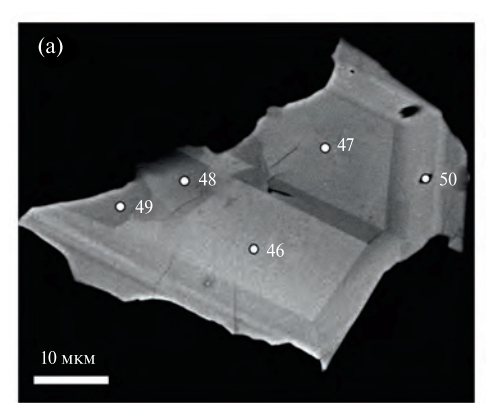
ТіО, и 2-2.2 мас. % V₂O₃ (ан. № 41-42, табл. 7). На них нарос малотитанистый алланит-(Се) (ан. № 43–45, табл. 7); внешние зоны этого алланита по составу приближаются к REE эпидоту. Распределение лантанидов и иттрия в Ti-V алланите-(Ce): Ce > La > Nd >> Pr = Y >> Gd = Dv = Sm > Tb; B Maлотитанистом алланите-(Се) существенно иное: $Ce > Nd >> Y \sim La > Sm = Gd \sim Pr > Dv > Tb > Eu$. В плагиогранитах распространены зональные кристаллы алланита, как сходные с описанными в кварцевых диоритах, так и существенно иные (рис. 8а, б). Одни из них - это блоково-секториальнозональные кристаллы (рис. 8а). На блоки, сложенные Ті алланитом-(Се) (ан. № 46–47, табл. 8), наросли зоны близкого состава (ан. № 48-49, табл. 8) или с пониженным содержанием титана < 2 мас. % ТіО, (ан. № 49-51, табл. 8); распределение REE и Y в них: Ce > La >> Nd > Y > Pr > Sm == Gd > Dy. Кристаллы иного типа состоят из пластин различного состава (рис. 8б). Пластина, наиболее богатая лантанидами (ан. № 51), по составу отвечает Ті алланиту-(Се) с пониженным содержанием титана. На нее наросла пластина малотитанистого алланита-Се (ан. № 52), в составе которого: Ce > La >> Nd > Y > Pr > Sm > Gd. На алланит

Таблица 7. Химический состав (мас. %) Ti-V алланита-(Се) (№ 41—42), алланита-(Се) (№ 43—45) зонального кристалла в кварцевых диоритах интрузива Кушнаревский (Первомайский)

кристалла в кварцевь	іх диоритах интру	зива Кушнаревский	й (Первомайский	i)		
Компонент	лент 41 42		43	44	45	
SiO ₂	29.82	30.19	31.78	31.78	34.06	
TiO ₂	2.58	2.47	0.69	0.52	0.55	
V_2O_3	2.26	2.02	0.24	0.21	нпо	
Al_2O_3	11.91	12.50	18.28	18.85	21.98	
Fe_2O_3	5.44	5.22	3.85	5.51	2.51	
FeO	9.85	9.91	9.71	6.82	8.73	
MnO	0.16	0.17	0.45	0.40	0.30	
MgO	1.54	1.62	нпо	1.01	нпо	
CaO	9.65	9.96	12.01	12.70	14.80	
Ce ₂ O ₃	13.07	13.12	7.68	7.37	6.17	
La ₂ O ₃	7.31	7.49	2.15	1.83	1.72	
Nd_2O_3	3.96	4.01	6.19	6.14	4.88	
Pr ₂ O ₃	1.12	1.12	1.27	1.27	0.99	
Sm_2O_3	0.40	0.49	1.67	1.66	1.36	
Eu ₂ O ₃	нпо	нпо	нпо	0.42	нпо	
Gd_2O_3	0.45	0.46	1.51	1.49	1.29	
Tb ₂ O ₃	0.45	нпо	0.54	нпо	0.51	
Dy ₂ O ₃	0.50	0.42	1.03	0.66	1.01	
Ho ₂ O ₃	нпо	нпо	нпо	нпо	нпо	
Er ₂ O ₃	нпо	нпо	нпо	нпо	нпо	
Yb ₂ O ₃	нпо	нпо	нпо	нпо	нпо	
Y_2O_3	0.77	0.73	1.64	1.70	1.61	
Sc_2O_3	нпо	0.12	0.10	0.09	0.15	
ThO ₂	на	на	на	на	на	
Сумма	101.24	102.02	100.79	99.95	102.59	
		Число атомов в	формуле			
Ca	1.000	1.000	1.000	1.000	1.000	
Сумма		,	1			
Ce	0.464	0.456	0.257	0.244	0.194	
La	0.261	0.263	0.073	0.061	0.055	
Nd	0.137	0.136	0.202	0.199	0.150	
Pr	0.040	0.039	0.042	0.042	0.031	
Sm	0.013	0.016	0.053	0.052	0.040	
Eu	_	_	_	0.013	_	
Gd	0.015	0.015	0.048	0.047	0.039	
Tb	0.014	_	0.017	_	0.014	
Dy	0.016	0.014	0.032	0.021	0.029	
REE	0.960	0.939	0.734	0.679	0. 552	
Y	0.040	0.037	0.080	0.082	0.074	

Таблипа	7.	Окончание

Компонент	41	42	43	44	45				
Sc	_	0.010	0.008	0.007	0.011				
Ca	_	0.014	0.178	0.232	0.363				
Сумма	1								
Fe ²⁺	0.764	0.757	0.757 0.743		0.625				
Fe ³⁺	_	_	0.222	0.318	0.353				
Mg	0.223	0.229	_	0.136	_				
Mn ²⁺	0.013	0.014	0.035 0.030		0.022				
Сумма	1								
Al	1.248	1.267	1.891	1.892	1.901				
Fe ³⁺	0.395	0.373	0.044	0.058	0.063				
Fe ²⁺	0.034	0.030	_	_	_				
Ti	0.146	0.176	0.047	0.035	0.036				
V	0.175	0.154	0.018	0.015	_				
Сумма	2								
Si	2.888	2.868	2.909	2.879	2.928				
Al	0.112	0.132	0.081	0.121	0.072				
Сумма	3								



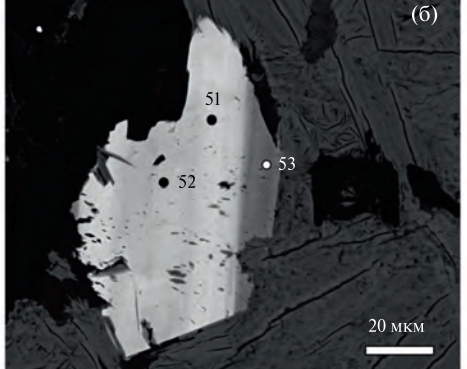


Рис. 8. Блоково-секториально-зональные кристаллы алланита-(Ce) в биотитовых плагиогранитах Кушнарёвского интрузива: (a) — Ті алланит-(Ce) (№ 46—50); (б) — Ті алланит-(Ce) (№ 51), алланит-(Ce) (№ 52), REE эпидот (№ 53). BSE image.

наросли пластины REE эпидота (рис. 86; ан. № 53, табл. 8), в его составе: Ce > La > Y > Nd.

ОБСУЖДЕНИЕ РЕЗУЛЬТАТОВ

Пример габброидов и плагиогранитоидов Горного Крыма показал, насколько непростыми являются формирование и эволюция акцессорного алланита (ортита). Фактические данные о типах редкоземельных минералов группы эпидота, их соотношениях с иными минералами магматических пород первомайско-аюдагского интрузивного

комплекса свидетельствуют о заметном отличии их в габброидах и в плагиогранитоидах. Богатый титаном ферриалланит-(Се), экстремально богатый ванадием Ті алланит-(Се) и алланит-(У) развиты только в габброидах комплекса; только в этих породах минералы группы эпидота содержат заметное количество тория. Редкоземельные минералы группы эпидота в габброидах тесно связаны с минералами шестой минеральной ассоциации, тогда как Ті-V алланит-(Се), алланит-(Се) и REE эпидот в плагиогранитоидах тесно связаны с кварцолигоклазовой и кварц-альбит-олигоклазовой гра-

Таблица 8. Химический состав (мас. %) Ті алланита-(Се) (№ 46—51), алланита-(Се) (№ 52) секториально-блоково-зональных кристаллов с каймой REE эпидота (№ 53) (рис. 7) в биотитовых плагиогранитах Кушнаревского интрузива

Кушнаревского интрузива									
Компонент	46 (рис. 7a)	47 (рис. 7a)	48 (рис. 7a)	49 (рис. 7a)	50 (рис. 7a)	51 (рис. 7б)	52 (рис. 7б)	53 (рис. 7б)	
SiO ₂	30.23	30.22	31.49	31.87	31.43	30.45	31.06	35.18	
TiO ₂	2.87	2.58	2.86	2.81	1.93	1.67	0.79	0.26	
$\overline{V_2O_3}$	0.37	0.23	0.27	0.22	0.51	0.28	0.25	нпо	
Al_2O_3	12.20	13.43	13.32	14.38	13.70	12.75	16.79	21.74	
Fe ₂ O ₃	4.29	7.01	4.85	3.57	5.91	5.18	8.46	13.89	
FeO	12.64	9.17	10.92	11.64	10.53	11.51	6.18	_	
MnO	0.25	0.32	0.33	0.24	0.32	0.25	0.52	0.77	
MgO	1.26	1.18	1.39	1.28	1.25	1.20	1.24	0.72	
CaO	10.63	11.61	11.93	12.10	11.36	11.31	12.40	20.09	
Ce ₂ O ₃	12.45	11.90	11.829	11.76	11.82	12.44	10.63	3.10	
La ₂ O ₃	7.39	7.11	5.36	5.83	6.27	7.26	6.89	2.01	
$\overline{\mathrm{Nd_2O_3}}$	2.85	2.65	3.50	2.91	3.99	3.28	2.56	1.05	
Pr ₂ O ₃	0.85	0.80	1.03	0.81	1.15	0.94	0.87	нпо	
$\overline{\mathrm{Sm_2O_3}}$	0.37	0.38	0.69	0.50	0.60	нпо	0.56	нпо	
Eu ₂ O ₃	нпо								
Gd_2O_3	0.58	0.41	0.58	0.49	0.61	нпо	0.45	нпо	
Tb ₂ O ₃	нпо								
Dy ₂ O ₃	0.46	0.48	нпо	0.50	нпо	нпо	нпо	нпо	
Ho ₂ O ₃	нпо								
Er ₂ O ₃	нпо								
Yb ₂ O ₃	нпо								
$\overline{\mathbf{Y}_{2}\mathbf{O}_{3}}$	0.98	0.87	1.15	1.06	1.21	нпо	0.99	1.15	
ThO ₂	нпо								
Сумма	100.67	100.25	100.96	101.92	102.43	98.54	100.64	99.96	
			Число а	томов в фор	муле				
Ca	1.000	1.000	1.000	1.000	1.000	1.000	1.000	1.000	
Сумма				1					
Ce	0.434	0.414	0.383	0.394	0.400	0.437	0.337	0.093	
La	0.260	0.250	0.183	0.197	0.214	0.257	0.233	0.061	
Nd	0.097	0.090	0.116	0.095	0.132	0.112	0.084	0.031	
Pr	0.029	0.028	0.035	0.027	0.039	0.033	0.029	_	
Sm	0.012	0.012	0.022	0.016	0.019	_	0.018	_	
Gd	0.010	0.014	0.019	0.016	0.020	_	0.014	_	
Dy	0.015	0.015	_	0.014	_	_	_	_	
REE	0.866	0.823	0.758	0.759	0.824	0.839	0.735	0.185	
Y	0.049	0.044	0.057	0.052	0.052	_	0.048	0.050	
Ca	0.085	0.133	0.185	0.189	0.126	0.161	0.217	0.765	
Сумма				1					

Таблица 8. Окончание

Компонент	46 (рис. 7a)	47 (рис. 7a)	48 (рис. 7a)	49 (рис. 7a)	50 (рис. 7a)	51 (рис. 7б)	52 (рис. 7б)	53 (рис. 7б)
Fe ²⁺	0.799	0.729	0.782	0.806	0.721	0.804	0.474	_
Fe ³⁺	_	0.078	_	_	0.082	_	0.316	0.858
Mg	0.180	0.167	0.192	0.175	0.172	0.175	0.170	0.088
Mn ²⁺	0.021	0.026	0.026	0.019	0.025	0.021	0.040	0.054
Сумма				1				
Al	1.250	1.375	1.377	1.461	1.403	1.364	1.660	1.984
Fe ³⁺	0.516	0.423	0.339	0.226	0.424	0.375	0.268	_
Fe ²⁺	_	_	0.065	0.084	_	0.119	_	_
Ti	0.206	0.184	0.199	0.193	0.135	0.120	0.054	0.016
V	0.028	0.018	0.020	0.016	0.038	0.022	0.018	_
Сумма	2							
Si	2.880	2.871	2.921	2.912	2.909	2.922	2.847	2.883
Al	0.120	0.129	0.079	0.088	0.091	0.078	0.153	0.117
Сумма	3							

фикой седьмой минеральной ассоциации. Таким образом, алланит-(Се) в 6-й МА в габброидах представляет его I генерацию, алланит-(Се) в 7-й МА в плагиогранитоидах представляет его II генерацию.

Редкоземельные минералы группы эпидота первой генерации в кварцевых габброидах Горного Крыма

Наиболее ранний из них — Ті-ферриалланит-(Се), слагающий ядра кристаллов Ті алланита-(Се) в Кушнарёвском интрузиве (рис. 76, ан. № 35–36, табл. 6) и ядра кристаллов алланита-(Се) в интрузиве Аю-Даг (рис. 36, ан. № 7, табл. 2); это алланит первого зарождения. Ті алланит-Се и Ті-V алланит-Се, слагающие обособленные кристаллы (рис. 4а, ан. № 14–17; рис. 4б, ан. № 18–19, табл. 3) и ядра кристаллов алланита-(Се) в интрузиве Аю-Даг (рис. 26, ан. № 1, табл. 1; рис. 36; ан. № 7, табл. 2), в Лебединском (рис. 6г, ан. № 27-32, табл. 5) и в Кушнаревском (рис. 76; ан. № 37-38, табл. 5); это алланит второго зарождения. На Ті ферриалланит-(Се) и Ті алланит-(Се) почти повсеместно нарос малотитанистый и бедный ванадием алланит-(Се), который представляет алланит третьего зарождения (рис. 26; ан. № 2, табл. 1; рис. 36; ан. № 8—12, табл. 2 и др.); нередко алланит-(Ce) слагает обособленные кристаллы (рис. 5в, ан. № 22-23, табл. 4). На кристаллы алланита-(Се) довольно часто нарос алланит-(Y) – в Аю-Даге (рис. 3, табл. 2), в Партените (рис. 5, табл. 4), в Кушнаревском (рис. 7в, г); это алланит четвертого зарождения. Алланит 2-го, 3-го и 4-го зарождений окружает REE эпидот (рис. 5г, ан. № 26, табл. 4; рис. 6г, ан. № 34, табл. 5; рис. 7б, ан. № 39—40, табл. 6). Такова установленная последовательность формирования редкоземельных минералов группы эпидота в островодужных габброидах Горного Крыма.

Богатые титаном ферриалланит-(Се) и алланит-(Се) 1-го и 2-го зарождений в значительной мере унаследовали свой состав от замещенных чевкинита-(Се) и перрьерита-(Се), отчасти от ильменита. Источник повышенных концентраций ванадия в алланите не ясен. Вероятная причина возникновения раннего ферриалланита вместо алланита – остаточная повышенная водонасыщенность расплава, о чем может свидетельствовать наличие магматических амфиболов - паргасита и эденита - в составе предшествующей 5-й минеральной ассоциации (Спиридонов и др., 2023). Вероятный источник тория, которым крайне бедна исходная базитовая магма комплекса, растворяющийся ксеногенный торит, которого немало в габброидах; по-видимому, с этим связано хаотичное появление в составе алланита повышенных содержаний тория (до 1.8 мас. %). Возникновение алланита-(Ү) – наиболее позднего среди алланита в габброидах - очевидно, связано с накоплением иттрия в расплаве; источниками У могли быть замещаемые чевкинит, перрьерит и растворяющийся реликтовый циркон, содержащий до 6 мас. % У (Спиридонов и др., 2018, 2019б). Накопление У сопровождало появление в алланите тяжелых лантанидов: Tb, Dy, Er, Yb.

Среднее содержание лантанидов, иттрия и тория в ферроалланите-(Се) и алланите-(Се) габброидов,

n = 34, apfu (в скобках диапазон значений): Се 0.419 (0.329–0.501); La 0.248 (0.096–0.304); Nd 0.127 (0.068-0.189); Pr 0.032 (0.016-0.045); Sm 0.009 (следы-0.036); Gd 0.010 (следы-0.029); Dy ~ 0.0015 (следы -0.040); Tb ~ 0.0005 (следы -0.019); Er ~ 0.0005 (следы -0.011); Yb ~ 0.0005 (следы -0.011); Y 0.040(следы -0.088); Th 0.008 (следы -0.038). Среднее содержание лантанидов (в % от суммы REE) и иттрия (в % от суммы REE и Y) в ферроалланите-(Ce) и алланите-(Ce) габброидов, n=34 (в скобках диапазон значений): Ce 49.5% (44–53); La 29.3% (15–42); Nd 15.0 % (7-25); Pr 3.8 % (2-6); Sm 1.1 % (следы – 4); Gd 1.2 % (следы – 4); Dy ~0.2 % (следы – 3); Tb ~ $\sim 0.1\%$ (следы -3); Er $\sim 0.1\%$ (следы -5); Yb $\sim 0.1\%$ (следы - 1); Y 4.5% (следы - 11). Наиболее устойчиво содержание главного лантанида – церия. Весьма изменчиво – в три раза – содержание неодима, лантана, празеодима. Крайне изменчиво содержание иттрия и иттриевых редкоземельных элементов, а также тория. Эволюция состава редкоземельных минералов группы эпидота представлена на рис. 9: виден отчетливый тренд истощения La и накопления Nd от ранних зарождений к поздним.

Редкоземельные минералы группы эпидота II генерации в плагиогранитоидах Горного Крыма. В кварцевых диоритах более раннее образование – Ti-V алланит-(Ce), слагающий центральную часть кристаллов густого коричневого цвета в проходящем свете (ан. № 40-41, табл. 7), это 1-е зарождение алланита в плагиогранитоидах Горного Крыма. Минерал содержит 2.5-2.6 мас. % ТіО, и 2.3-2.6 мас. % $V_{2}O_{3}$. Распределение лантанидов и иттрия в нем: Ce > > La > Nd >> Pr = Y >> Gd = Dy = Sm > Tb. Ha Ti-V алланит-(Се) нарос малотитанистый и бедный ванадием алланит-(Се) 2-го зарождения светлокоричневого цвета в проходящем свете (ан. № 43-45, табл. 7); распределение лантанидов и иттрия в нем существенно иное: Ce > Nd >> Y \sim La > Sm = Gd \sim \sim Pr > Dy > Tb > Eu. В кристаллах алланита в плагиогранитах центральные их зоны или блоки слагает Ті алланит-(Се) 1-го зарождения с 2.6-2.9 мас. % ТіО, и 0.2-0.4 мас. % V,О, (рис. 8а; ан. № 46-49, табл. 8) густо-коричневого цвета, по краям более

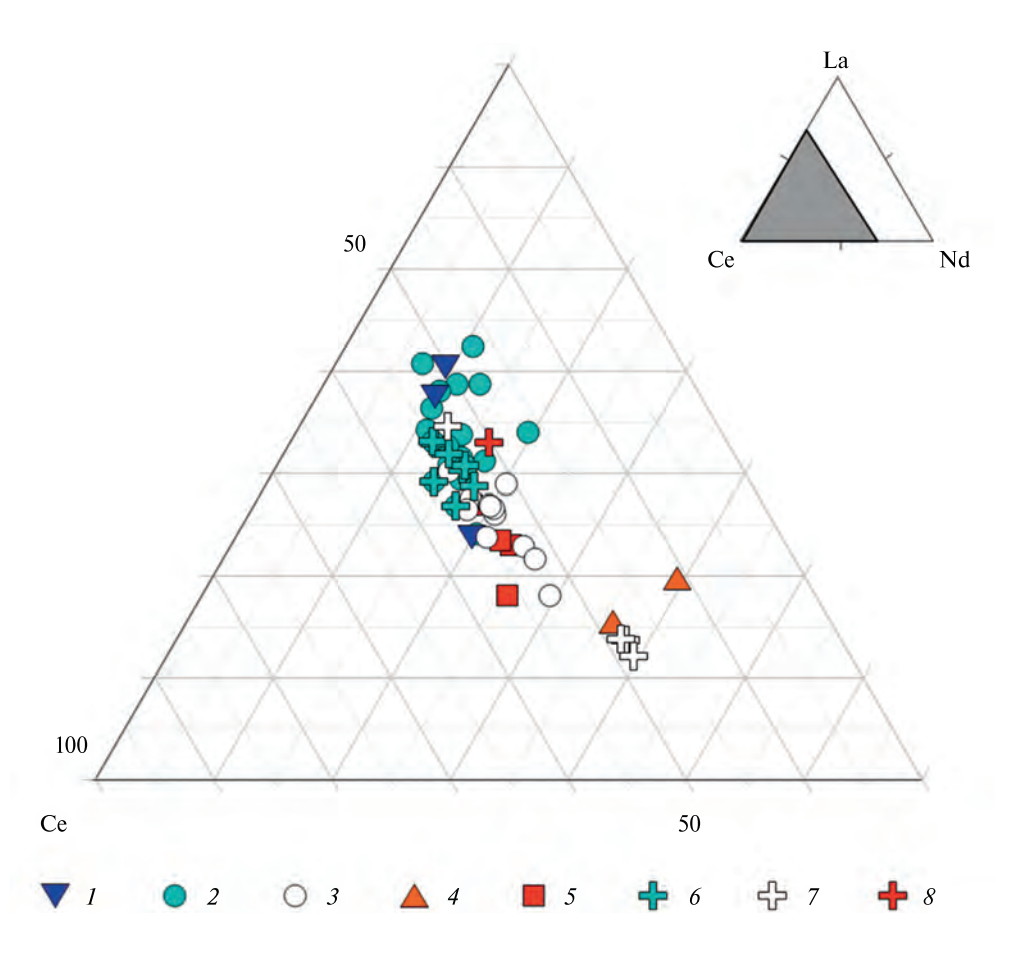


Рис. 9. Относительное содержание Ce, La, Nd в алланите и REE эпидоте Горного Крыма. Кварцевые габброиды: I- Ti ферриалланит-(Ce) 1-го зарождения; 2- Ti и Ti-V алланит-(Ce) 2-го зарождения; 3- Алланит-(Ce) 3-го зарождения; 4- Алланит-(Y) 4-го зарождения; 5- REE эпидот. Плагиогранитоиды: 6- Ti и Ti-V алланит-(Ce) 1-го зарождения; 7- Алланит-(Ce) 2-го зарождения; 8- REE эпидот.

бедный титаном — с 1.9 мас. % TiO₂ и 0.5 мас. % V_2O_2 (ан. № 50, табл. 8), светло-коричневого цвета в проходящем свете. Распределение лантанидов и иттрия в этом минерале: Ce > La >> Nd >> Y > Pr > Sm = = Gd ~ Dv. В кристаллах алланита с пластинчатой структурой центральные пластины слагает Ті алланит-(Се) 1-го зарождения, относительно бедный титаном — с 1.7 мас. % TiO_2 и 0.3 мас. % V_2O_3 (рис. 86, ан. № 51, табл. 8), светло-коричневого цвета в шлифе; распределение лантанидов и иттрия в нем: Ce > La > Nd >> Pr. На эти пластины нарос малотитанистый алланит-(Се) 2-го зарождения (рис. 8б, ан. 52, табл. 8), бледно-коричневатый в проходящем свете; распределение лантанидов и иттрия в нем: Ce > La >> Nd >> Y > Pr > Sm > Gd. Внешние пластины таких кристаллов слагает REE эпидот (рис. 8б, ан. 53, табл. 8), почти не окрашенный в проходящем свете; распределение лантанидов и иттрия в нем: Ce > La > Y > Nd.

Среднее содержание лантанидов и иттрия в алланите-(Ce) плагиогранитоидов, n = 12, apfu (в скобках диапазон значений): Се 0.364 (0.194-0.464); La 0.193 (0.055-0.263); Nd 0.129 (0.084-0.202); Pr 0.035 (0.027-0.042); Sm 0.023 (следы -0.053); Eu ~ 0.001 (следы -0.013); Gd 0.021 (следы -0.048); Dy ~ 0.013 (следы -0.032); Tb 0.004 (следы -0.017); Y0.051 (следы -0.082). Среднее содержание лантанидов (в % от суммы REE) и иттрия (в % от суммы REE и Y) в алланите-(Ce) плагиогранитоидов, n =12 (в скобках диапазон значений): Се 46.5 % (35-52); La 24.6% (9–32); Nd 16.5% (11–29); Pr 4.4% (3-6); Sm 2.9% (следы -8); Eu $\sim 0.1\%$ (следы -2); Gd 2.7% (следы -7); Dy 1.7% (следы -5); Tb ~ 0.5 % (следы - 3); Y 6.2% (следы - 12). Содержание церия и неодима меняется в два раза, лантана – в пять раз. Крайне изменчивы содержания иттрия и иттриевых редкоземельных элементов. Эволюция состава редкоземельных минералов группы эпидота представлена на рис. 8: отчетлив тренд истощения La и накопления Nd.

Эволюция состава редкоземельных минералов группы эпидота в островодужных габброидах и плагиогранитоидах Горного Крыма

Установлено, что один из ярких индикаторов эволюции состава указанных минералов — соотношение содержаний лантана и неодима: лантан обогащает более ранние зарождения, неодим — более поздние. Другой индикатор — содержание титана, который, как известно, обогащает более высокотемпературные разновидности силикатов — кварца, биотита, амфиболов, циркона и иных; выше показано, что эта тенденция проявлена и в крымском алланите — ранние зарождения данных минералов обогащены титаном (и ванадием). Один из индикаторов — суммарное

содержание лантанидов, которое стандартно снижается от ранних зарождений алланита к поздним и далее — к REE эпидоту. С учетом этого построены диаграммы эволюции состава рассматриваемых минералов (рис. 10).

На всех диаграммах рис. 10 точки содержаний компонентов в изученных минералах образуют связанные комплексы. Очевидно, что это - генетически единая серия минералов в каждом конкретном интрузиве и во всей совокупности островодужных кварцевых габброидов и плагиогранитоидов Горного Крыма. Впечатляет почти линейная зависимость суммарных количеств титана с ванадием и отношения содержания лантана к неодиму (правая верхняя диаграмма); максимальные значения того и другого параметра типичны для самых ранних зарождений алланита, минимальные значения – для наиболее позднего REE эпидота. Зависимости иных параметров не линейные, имеют экспоненциальный характер. Таков характер положительной зависимости суммы титана с ванадием и суммы лантанидов, при этом величина Ti + V резко снижается уже при незначительном понижении суммы REE (левая верхняя диаграмма). Таков же характер положительной зависимости содержания церия и величины La/Nd, при этом высокие содержания церия устойчивы в весьма широком диапазоне значения La/Nd, и только затем тот и другой параметры резко снижаются (правая нижняя диаграмма). Таков характер отрицательной зависимости величин Се/La и La/Nd – почти идеальная экспонента (левая нижняя диаграмма); из этой диаграммы следует, что алланит-(Се) в плагиогранитоидах обеднен лантаном и обогащен неодимом, т.е. более низкотемпературное образование, чем алланит-(Се) в габброидах.

Распределение REE и Y в алланите-(Се) всей совокупности кристаллов (46 анализов) островодужных магматических пород Горного Крыма имеет хондритовый характер.

Сравнение алланита-(Се) островодужных кварцевых габброидов и плагиогранитоидов Горного Крыма с мировыми типами

Известно, что редкоземельный состав алланита-(Се) довольно устойчив. Об этом свидетельствуют и данные в табл. 9. Видно, что все пересыщенные кремнеземом интрузивные породы от гранитов до кварцевых габброидов содержат алланит близкого состава, который отличен от алланита щелочных магматитов существенно более низкими содержаниями лантана и существенно более высокими содержаниями иттрия и тяжелых лантанидов. Разница между составом алланита гранитов и гранитных пегматитов прежде всего в более высоком лантан-неодимовом отношении в более

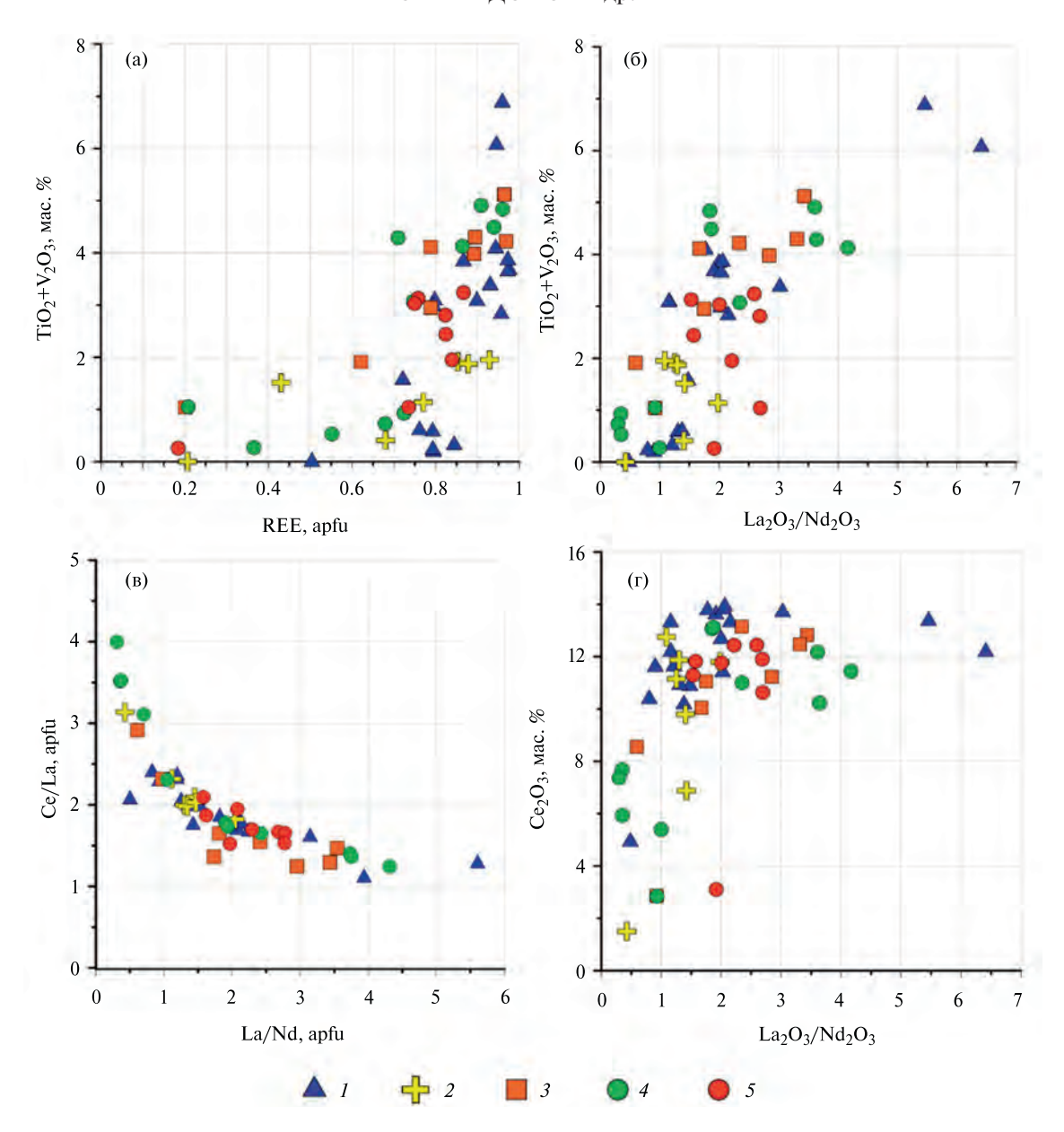


Рис. 10. Вариации состава редкоземельных минералов группы эпидота габброидов и плагиогранитоидов Горного Крыма: *1* – в габброидах Аю-Дага, *2* – в габброидах Партенита, *3* – в габброидах Лебединского интрузива, *4* – в габброидах Кушнаревского интрузива, *5* – в плагиогранитоидах Кушнарёвского интрузива.

высокотемпературных гранитах — 100La/Nd — 164 против 140. Редкоземельный состав алланита-(Се) плагиогранитоидов Крыма близок таковому мирового типа алланита в гранитах по (Fleischer, 1985); единственное существенное отличие — в два раза повышенное содержание Gd в алланите-(Се) крымских плагиогранитоидов. Различие редкоземельного состава алланита кварцевых габброидов и плагиогранитоидов Крыма напоминает различие между мировыми типами гранитов и гранитных пегматитов: в алланите кварцевых габброидов существенно выше лантан-неодимовое отношение — 195 против 149. Кроме того, алланит-(Се) в плагиогра-

нитоидах богаче иттрием и тяжелыми лантанидами, которые обычно накапливаются в более поздних зарождениях алланита-(Се) (табл. 9).

О вероятной причине окраски алланита-(Ce) крымских пород

Фактические данные, приведенные выше, свидетельствуют, что основным хромофором крымского алланита-(Се), вероятно, является Ti^{4+} (комбинация $\mathrm{Ti}^{4+}-\mathrm{Fe}^{2+}$) или $\mathrm{Ti}^{4+}+\mathrm{V}^{3+}$ (в комбинации с Fe^{2+}). Не исключено определенное влияние на окраску примеси тория (до 3 мас. %).

Источник	Данные авторов, Горный Крым	Fleischer, 1985							
Типы горных пород	Кварцевые габ- бро-нориты и габ- бронорит-диориты	Кварцевые диориты и плагиориты и плагиориты	Граниты	Гранитные пегматиты	Щелочные породы	Щелочные пегматиты			
La/REE, %	29.3	24.6	25.3	22.2	33.3	34.9			
Ce/REE, %	49.4	46.5	48.1	43.2	49.6	50.8			
Pr/REE, %	3.8	4.4	5.0	5.7	4.3	3.8			
Nd/REE, %	15.0	16.5	15.4	15.9	11.1	9.1			
Sm/REE, %	1.1	2.9	2.4	4.1	0.7	0.6			
Gd/REE, %	1.2	2.7	1.3	3.8	0.2	0.3			
Y/REE+Y, %	4.4	6.0	6.8	9.6	0.3	1.1			
n	34	12	139	114	13	24			
100 La/Nd	195	149	164	140	300	384			

Таблица 9. Среднее содержание лантанидов (в % от их суммы) и иттрия (в % от суммы лантанидов и иттрия) в алланите-(Се) различных типов магматических пород

ВЫВОДЫ

- 1. В островодужных биотитсодержащих кварцевых габброидах Горного Крыма установлено пять зарождений редкоземельных минералов группы эпидота: 1) Ті ферриалланит-(Ce); 2) Ті и Ті-V алланит-(Се); 3) алланит-(Се) (наиболее распространен); 4) алланит-(Y); 5) REE эпидот. Вероятная причина возникновения раннего ферриалланита остаточная водонасыщенность расплава. Ферриалланит-(Се) и алланит-(Се) 1-го и 2-го зарождений наследовали редкоземельный состав и повышенные содержания титана замещенных чевкинита-(Се) и перрьерита-(Се). Дополнительным источником У при образовании алланита-(У) мог быть растворяющийся богатый Ү реститовый циркон, которого немало в габброидах. Хаотичное появление в алланите повышенных содержаний Th (до 1.8 мас. %), по-видимому, связано с растворением ксеногенного торита.
- 2. В островодужных плагиогранитоидах Горного Крыма установлено три зарождения редкоземельных минералов группы эпидота: 1) Ті и Ті-V алланит-(Се); 2) алланит-(Се); 3) REE эпидот.
- 3. В целом алланит-(Се) крымских габброидов отличен от алланита-(Се) крымских плагиогранитоидов более высоким лантан-неодимовым отношением 100La/Nd 195 против 149; кроме того, алланит-(Се) в плагиогранитоидах богаче иттрием и тяжелыми лантанидами, которые обычно накапливаются в более поздних зарождениях алланита-(Се). Ферриалланит-(Се) и алланит-(Се) ранних зарождений обогащены REE > 0.8 арfu, Се (>10 мас. %) и особенно La, обеднены Nd, для

них характерна повышенная величина La_2O_3/Nd_2O_3 от 6.5 до 2, пониженная величина Ce/La apfu ≤ 2 .

4. Редкоземельный состав алланита-(Се) крымских плагиогранитоидов близок к мировому типу алланита в гранитах; единственное существенное отличие — в два раза повышенное содержание Gd в крымском алланите-(Се).

Авторы благодарны П. М. Карташову, д.г.-м.н. В. И. Алексееву, анонимному рецензенту и научному редактору за конструктивную критику.

Работа выполнена по плану научно-исследовательских работ кафедры минералогии МГУ, с использованием оборудования, полученного по программе развития Московского университета имени М. В. Ломоносова.

СПИСОК ЛИТЕРАТУРЫ

Армбрустер Т., Бонацци П., Акасака М., Берманец В., Шопен К., Жире Р., Хеус-Ассбихлер С., Лейбшер А., Менчетти С., Пан Я., Мазеро М. (2006) Рекомендуемая номенклатура минералов группы эпидота. Записки РМО. 135 (6), 19—23.

Барсанов Г.П. (1949) Минералы Ильменского заповедника. Изд. Урал. филиала АН СССР. 475 с.

Багдасарян Г.П., Лебединский В.И. (1967) Новые данные об абсолютном возрасте магматических пород Горного Крыма. *ДАН СССР*. **173** (1), 149—152.

Болдырев А.К., Бетехтин А.Г., Годлевский М.Н., Григорьев Д.П., Киселёв А.И., Левицкий О.Д., Разумовский Н.К., Смирнов А.А., Соболев В.С., Соловьёв С.П., Успенский Н.М., Черных В.В., Шафрановский И.И. (1936) Курс минералогии. М.-Л.: ОНТИ. 1136 с.

Вернадский В.И. (1914) Опыт описательной минералогии. Петроград. 780 с.

Губин В.А., Хиллер В.В. (2014) Акцессорные алланиты Адуйского гранитного массива (Средний Урал). *Вестник Уральского отделения РМО*. (11), 12—16.

Еременко Г.К., Еременко Е.И. (1972) Метакарбонатные контактовые роговики Аю-Дага $\mathcal{L}AH$ *УССР*. Серия Б. (7). С. 585—589.

Кокшаров Н.И. (1848) Кристаллическая система уралортита. Горный журнал. Часть 2. Книга 5. С. 204—227.

Кравченко С.М. (1958а) Геология интрузивного комплекса юга центральной части Горного Крыма: диссертация канд. геол.-мин. наук. Москва: МГРИ. 260 с.

Кравченко С.М. (1958б) Петрографические особенности интрузивных массивов юга Центрального Крыма в свете новых данных. *Известия АН СССР*. Геология. (3), 100–105.

Лабунцов А.Н. (1939) Пегматиты Северной Карелии. *Пегматиты СССР*. Т. 2. М.-Л.: АН СССР. 260 с.

Лагорио А.Е. (1887) К геологии Крыма. О некоторых массивных горных породах Крыма и их геологическом значении. Записки Варшавского университета. (5), 1–16; (6), 17–48

Латышев А.В., Панов Д.И. (2008) Юрские магматические тела в долине реки Бодрак, ЮЗ Крым. *Вестник МГУ*. Серия геология. **4** (2), 70-78.

Лебединский В.И. (1962) Пластовые интрузии в таврической серии и их роль в геологической истории Горного Крыма. *Известия АН СССР*. Серия геология. (4), 32—39.

Лебединский В.И., Соловьев И.В. (1988) Байосские вулкано-структуры Горного Крыма *Геологический журнал*. (4), 85—93.

Лучицкий В.И. (1939) Петрография Крыма. Петрография СССР. Серия 1. Региональная петрография. Вып. 8. М.-Л.: изд. АН СССР. 98 с.

Милеев В.С., Барабошкин Е.Ю., Розанов С.Б., Рогов М.А. (2009) Тектоника и геодинамическая эволюция Горного Крыма. *Бюллетень МОИП. Отдел геологический.* **84** (3), 3–21.

Морозова Е.Б., Сергеев С.А., Суфиев А.А. (2012) U-Рь цирконовый (Shrimp) возраст Джидаирской интрузии как реперного объекта для геологии Крыма. *Вестник СПбГУ*. Серия геология и география. (4), 25–33.

Никитин М.Ю., Болотов С.Н. (2007) Геологическое строение Крымского учебного полигона МГУ. М.: МГУ. Часть 2. 110 с.

Овсянников Г.Н., Спиридонов Э.М., Филимонов С.В. (2024) Плагиоклаз интрузивных пород островодужного первомайско-аюдагского комплекса Горного Крыма: от плагиолерцолитов до плагиогранитов. Вестник МГУ. Геология. (2), 85—95.

Павлинов В.Н. (1946) Форма и механизмы образования малых интрузий типа лакколитов. М.: изд. МГРИ. 411 с.

Попова В.И., Баженова Л.Ф., Поляков В.О. (1980) Ортит из Ильменских гор. *Минералогический журнал*. **2** (3), 73–82.

Путинцева Е.В., Спиридонов Э.М. (2016) Алланит-(Се) — характерный минерал метакимберлитов Кимозера, Карелия. *Записки РМО*. **145** (4), 79—91.

Руманова И.М., Николаева Т.В. (1959) Кристаллическая структура ортита. *Кристаллография*. **4** (8), 789–795.

Спиридонов Э.М. (2018) Метаморфические образования киммерид Горного Крыма. *Проблемы тектоники и геодинамики земной коры и мантии*. М.: Геос. **2**, 223–227.

Спиридонов Э.М., Кравченко С.М., Степанов В.К., Путинцева Е.В., Тевелев Арк.В., Филимонов С.В., Никитин М.Ю., Овсянников Г.Н., Семиколенных Е.С. (2021а) Эффузивоподобные породы в составе гипабиссальных интрузивов габбро-долеритов мезозоид Горного Крыма и трапповой формации Восточно-Сибирской платформы (рудоносных и безрудных). Петрология и геодинамика геологических проиессов. Иркутск. 3, 107—109.

Спиридонов Э.М., Нурмухаметов Ф.М., Коротаева Н.Н., Куликова И.М., Сидорова Н.В. (2013) Позднемагматический ортит-(Се) в золотоносных гранитоидах Шарташского интрузива, Средний Урал. *Уральский геологический журнал*. (3), 46–55.

Спиридонов Э.М., Овсянников Г.Н. (2024) Псевдоморфозы псевдобрукита и псевдорутила, титанита, рутила по армолколиту, титаномагнетиту и ильмениту в низкоградно метаморфизованных интрузивных породах Горного Крыма. *Новые данные о минералах.* **58** (2), 36—45.

Спиридонов Э.М., Овсянников Г.Н., Филимонов С.В., Кравченко С.М., Семиколенных Е.С., Путинцева Е.В., Тевелев Арк.В., Шалимов И.В., Лавров О.Б., Кривицкая Н.Н., Фролова Ю.В., Ладыгин В.М. (2023) Петрогенетическая схема Н.Л. Боуэна и акцессорные минералы Сг, Ті, Zг, REE, Y. Армолколит и продукты его превращений. В кильватере большого корабля: современные проблемы магматизма, метаморфизма и геодинамики. Черноголовка, ИЭМ РАН, 47.

Спиридонов Э.М., Семиколенных Е.С., Лысенко В.И., Филимонов С.В., Коротаева Н.Н., Кривицкая Н.Н. (2019а) Армолколит-содержащие островодужные плагиолерцолиты и оливиновые габбро-норит-долериты Балаклавы, Горный Крым. Вестник МГУ. Серия Геология. (3), 51–60.

Спиридонов Э.М., Федоров Т.О., Ряховский В.М. (1990) Магматические образования Горного Крыма. Статьи 1 и 2. *Бюллетень МОИП. Отдел геологический*. **65** (4), 119–134; 65 (6), 102–112.

Спиридонов Э.М., Филимонов С.В., Никитин М.Ю., Овсянников Г.Н., Коротаева Н.Н. (20216) Керсутитовые лампрофиры мелового возраста в долине реки Бодрак в Горном Крыму. *Петрология и геодинамика геологических процессов*. Иркутск. 3, 127–129.

Спиридонов Э.М., Филимонов С.В., Семиколенных Е.С., Коротаева Н.Н. (2018) Цирконолит, бадделеит, циркон и торит островодужных кварцевых габбронорит-долеритов интрузива Аю-Даг (Горный Крым). Вестник МГУ. Серия Геология. (5), 70–78.

Спиридонов Э. М., Филимонов С. В., Семиколенных Е. С., Коротаева Н. Н. (20196) Чевкинит-(Се) и перрьерит-(Се) островодужных кварцевых габбронорит долеритов интрузива Аю-Даг, Горный Крым. Записки РМО. 148 (4), 61–79.

Ферсман А.Е. (1940) Пегматиты. Том 1. Гранитные пегматиты. М.-Л.: изд. АН СССР. 712 с.

Фирсов Л.В. (1963) Абсолютная датировка изверженных пород Крыма в качестве реперных образований для байоса. *Известия АН СССР. Геология*. (4), 24—34.

Хаин В.Е. (1984) Региональная геотектоника. М.: Недра. 341 с. Хвостова В.А. (1962) Минералогия ортита. *Труды. ИМГРЭ*. Выпуск 11. 121 с.

Хейнрих Э.У. (1962) Минералогия и геология радиоактивного минерального сырья: Пер. с англ.— М.: Иностранной литературы, 606 с.

- Якубова В.В. (1972) Группа эпидота. *В кн.: Минералы. Т. III. Вып. 1. Силикаты с одиночными и сдвоенными кремнекислородными тетраэдрами*. М.: Наука. 720—766.
- Alekseev V.I., Marin Yu.B., Gembitskaya T.M. (2013) Allanite-(Y) in areas of ongonite magmatism in the Far East; Isomorphism and petrogenetic implications. *Geology of Ore Deposits*. **55** (7), 503–514.
- Barth S., Oberli F., Meier M. (1994) Th-Pb versus U-Pb isotope systematics in allanite from co-genetic rhyolite and granodiorite: implications for geochronology. *Earth Planet. Sci Lett.* **124** (1–4), 149–159.
- Burt D.M. (1989) Composition and phase relations among rare earth element minerals. *Geochem. Mineral. Rare Earth Elements. Rev. Mineral.* **21**, 259–307.
- Cassilas R., Nagy G., Panto G., Brandle J., Forizs I. (1995) Occurrence of Th, U, Y, Zr, and REE-bering accessory minerals in late-variscan granitic rocks from the Sierra de Guadarrama (Spain). *Eur. J. Mineral.* 7 (4), 989–1006.
- Chesner C.A., Ettlinger A.D. (1989) Composition of volcanic allanite from the Toba tuffs, Sumatra, Indonesia. *Am. Mineral.* **74** (7–8), 750–758.
- Congdon R.D., Nash W.P. (1991) Eruptive pegmatite magma: rhyolite of the Honeycomb Hills, Utah. *Am. Mineral.* **76** (7–8), 1261–1278.
- Deer W.A., Howie R.A., Zussmann J. (1986) Rock-forming minerals. I B. Disilicates and ring silicates. (2nd edition). London: Longman. 151 p.
- Ercit T.S. (2002) The mess that is "allanite". *Can. Mineral.* **40** (5), 1411–1419.
- Finger F., Broska I., Roberts M.P., Schermaier A. (1988) Replacement of primary monazite by apatite allanite epidote coronas in an amphibolite facies granite gneiss from the eastern Alps. *Am. Mineral.* **83** (3–4), 248–258.
- Fleischer M.A. (1985) Summary of the variations in relative abundance of the lantanides and yttrium in allanites and epidotes. *Bull. Geol. Soc. Finl.* **57** (1), 151–155.
- Frondel J.W. (1964) Variation of some rare earth in allanite. *Am. Mineral.* **49** (9–10), 1159–1177.
- Giere R., Sorensen S.S. (2004) Allanite and other REE-rich epidote-group minerals. In: Epidotes (A. Liebscher, G. Franz, eds.). *Rev. Mineral. Geochem.* **56** (1), 431–493.
- Gramaccioli C.M. (1978) Mineralien der Alpen. Stuttgart: Kosmos. 503 p.
- Gromet L.P., Silver L.T. (1983) Rare earth elements distribution among minerals in a granodiorite and their petrogenetic implications. *Geochim. Cosmochim. Acta.* **47** (5), 925–939.
- Hanson S.L. (2012) Allanite-(Nd) from the Kingman feldspar mine, Mohave pegmatite district, northwestern Arisona, USA. *Can. Mineral.* **50** (4), 815–824.
- Hobbs W.H. (1889) On the paragenesis of allanite and epidote as rock-forming minerals. *Amer. J. Sci.* **3** (225), 223–228.
- Holtstam D., Andersson O.B., Mansfeld J. (2003) Ferriallanite-(Ce) from the Bastnäs deposit, Västmanland, Sweden. *Can. Mineral.* **41** (5), 1233–1240.

- Hoshino M., Kimata M., Shimizu M., Nishida N., Fujiwara T. (2006) Allanite-(Ce) in granitic rocks from Japan: genetic implications of patterns of REE and Mn enrichment. *Can. Mineral.* **44** (1), 45–62.
- Lacroix A. (1910) Mineralogie de la France et de ses colonies. 4. Paris. 903 p.
- Mulrooney D., Rivers T. (2005) Redistribution of the rare-earth elements among coexisting minerals in metamorphic rocks across the epidote-out isograd: an example from the St. Anthony complex, northern Newfounland, Canada. *Can. Mineral.* **43** (1), 263–294.
- Murata K.L., Rose H.I., Carron M.K., Glass J.J. (1957) Systematic variation of rare-earth elements in cerium-earth minerals. *Geochim. Cosmochim. Acta.* **11** (3), 141–161.
- Orlandi P., Pasero M. (2006) Allanite-(La) from Buca della Vena mine, Apuan Alps, Italy, in epidote group minerals. *Can. Mineral.* **44** (1), 63–68.
- Pan Y., Fleet M.E. (1991) Vanadian allanite-(La) and vanadian allanite-(Ce) from the Hemlo gold deposit, Ontario. *Mineral. Mag.* 55 (381), 497–507.
- Philpotts A.R., Ague J.J. (2009) Principles of igneous and metamorphic petrology. Cambridge University Press. 667 p.
- Pieczka A., Golębiowska B., Włodek A., Stachovicz M., Jokubaskas P., Kotowski J., Nejbert K., Szuszkiewicz A., Woźniak K. (2024) Allanite-(Sm), CaSm(Al₂Fe²⁺)(Si₂O₇)(SiO₄) O(OH), the third samarium mineral from Jordanów Śląski, Lower Silesia, Poland. *Am. Mineral.* **110**, 808–819.
- Prol-Ledesma R.-M., Melgarejo J.C., Martin R.F. (2012) The El Muerto "NYF" granitic pegmatite, Oaxaca, Mexico, and its striking enrichment in allanite-(Ce) and monazite-(Ce) *Can. Mineral.* **50** (4), 1055–1076.
- Sawka W.N., Chappel B.W., Norrish K. (1984) Light-rare-earth elements zoning in sphene and allanite during granitoid fractionation. *Geology*. **12** (3), 131–134.
- Schandl E.S., Gorton M.P. (1991) Postore mobilization of rare earth elements at Kidd Creek and other Archean massive sulfide deposits. *Econ. Geol.* **86** (7), 1546–1553.
- Smith M.P., Henderson P., Jeffris T. (2002) The formation and alteration of allanite in skarn from the Beinn an Dubhaich granite aureole, Skye. *Eur. J. Mineral.* **14** (3), 471–486.
- Smith W.L., Franck M.L., Sherwood A.M. (1957) Uranium and thorium in the accessory allanite of igneous rocks. *Amer. Mineral.* **42** (5–6), 367–378.
- Treloar P.J., Charnley N.R. (1987) Chromian allanite from Outokumpu, Finland. Canad. Mineral. 25 (3), 413–418.
- Ueda T. (1955) The crystal structure of allanite OH(Ca, Ce)₂(Fe³⁺, Fe²⁺)Al₂OSi₂O₇SiO₄. *Mem. Coll. Sci., Univ. Kyoto, Ser. B*, **22** (2), 145–163.
- Wing B.A., Ferry J.M., Harrison T.M. (2003) Prograde destruction and formation of monazite and allanite during contact and regional metamorphism of pelites: petrology and geochronology. *Contrib. Mineral. Petrol.* **145**, 228–250.

Ti FERRIALLANITE-(Ce), Ti AND Ti-V ALLANITE-(Ce), ALLANITE-(Ce), ALLANITE-(Y), AND REE EPIDOTE IN BIOTITE-BEARING QUARTZ GABBROIDS AND PLAGIOGRANITOIDS WITHIN THE ISLAND-ARC PERVOMAYSK-AYUDAG COMPLEX OF THE MOUNTAIN CRIMEA

© 2025 E. M. Spiridonov^{a, *}, G. N. Ovsyannikov^{a, c}, S. V. Filimonov^a, E. S. Koybagarova^b, N. N. Korotaeva^a

^aLomonosov Moscow State University,
 Vorobyovy Gory, 1, Moscow GSP-1, 119991 Russia
 ^bSaint Petersburg State University,
 V/O, Dekabristov per., 16, Saint-Petersburg, 199155 Russia
 ^cInstitute of Volcanology and Seismology FEB RAS,
 Piip Boulevard, 9, Petropavlovsk-Kamchatsky, Russia 683000

*e-mail: ernstspiridon@gmail.com

Received February 13, 2025; revised April 7, 2025; accepted April 24, 2025

The unique association of rare-earth minerals of the epidote group, as well as the evolution of lantanides and actinides, titanium and vanadium in their composition are described. Allanite-(Ce), often with a ferriallanite-(Ce) core, an outer zone of allanite-(Y) and a rim of REE epidote, forms pseudomorphs after chevkinite-(Ce) and perrierite-(Ce), as well as isolated crystals. They form intergrowths with biotite, developing near it in quartz gabbronorite-dolerites and gabbronorite-diorites of the island-arc mafic hypabyssal Pervomaysk-Ayudag complex within Mountain Crimea. Zonal allanite-(Ce) of similar composition, accompanied by REE epidote rims, is widespread in quartz diorites and plagiogranites of the same complex, where it is often developed in granophyric quartz-oligoclase intergrowths. Brown ferriallanite-(Ce) enriched in Ti (\pm Th) forms cores in brown allanite-(Ce) crystals enriched in Ti (\pm V) (up to 4.9 wt. % TiO₃). Allanite-(Ce) enriched in titanium (up to 3.5 wt. % TiO₃), which replaced ilmenite, is extremely rich in vanadium (up to 4.5 wt. % V₂O₂). Light colored low-titanium allanite-(Ce) has grown on titanium enriched allanite-(Ce). The distribution of lanthanides and vttrium in allanite-(Ce) and ferriallanite-(Ce) is: Ce > La > > Nd > Y > Pr > Sm \sim Dy \sim Gd > Er \sim Tb. The outer zones of allanite-Ce) crystals and rare-earth epidote are relatively enriched in Nd, whereas Nd > La in some instances. The ratio of yttrium and lanthanides in allanite-(Y) is specific: Y >> Ce ~ Nd ~ Dy ~ Er > La ~ Gd ~ Yb. Allanite-(Ce) of Crimean gabbroids is noticeably richer in La, Ti, V and poorer in Y, Sm, Gd in comparison with allanite-(Ce) of Crimean plagiogranitoids. According to (Fleischer, 1985), the distribution of lanthanides and yttrium in allanite-(Ce) of Crimean plagiogranitoids is close to the similar distribution in standard granites, differing in an increased proportion of Gd. The coloration causes and matter sources for magmatic Crimean allanite formation are considered. Allanite was partially replaced by monazite-(Ce) during the processes of regional metamorphism under the conditions of the prehnite-pumpellyite facies.

Keywords: ferriallanite-(Ce), allanite-(Ce), allanite-(Y), REE epidote, island-arc gabbroids — plagiogranitoids Mountain Crimea